



**MONITORING GEODYNAMICZNY POLSKI  
PAŃSTWOWA SŁUŻBA GEOLOGICZNA**

**PAŃSTWOWY INSTYTUT GEOLOGICZNY  
PAŃSTWOWY INSTYTUT BADAWCZY**

**RAPORT MIESIĘCZNY nr 03/2026**

**ZA OKRES OD 01/03/2026 DO 31/03/2026 ROK**

**(MARZEC 2026)**

**Zawartość raportu:**

Karta informacyjna – Aktywność sejsmiczna w marcu 2026 i okresie ostatnich 12 miesięcy: Polska, Europa, świat.

1. Monitoring aktywności sejsmicznej na obszarze Polski i w strefach przygranicznych
2. Aktywność sejsmiczna na kontynencie europejskim i w skali globalnej (wg danych EMSC)
3. Monitoring zmian pionowej składowej przyspieszenia siły ciężkości
4. Dodatek – poradnik
5. Lista załączników

realizacja projektu Monitoring Geodynamiczny Polski – etap V (MGP-V)

**WYKONANO NA ZAMÓWIENIE MINISTRA KLIMATU I ŚRODOWISKA  
ZA ŚRODKI FINANSOWE WYPŁACONE  
PRZEZ NARODOWY FUNDUSZ OCHRONY ŚRODOWISKA I GOSPODARKI WODNEJ**



**Ministerstwo  
Klimatu i Środowiska**



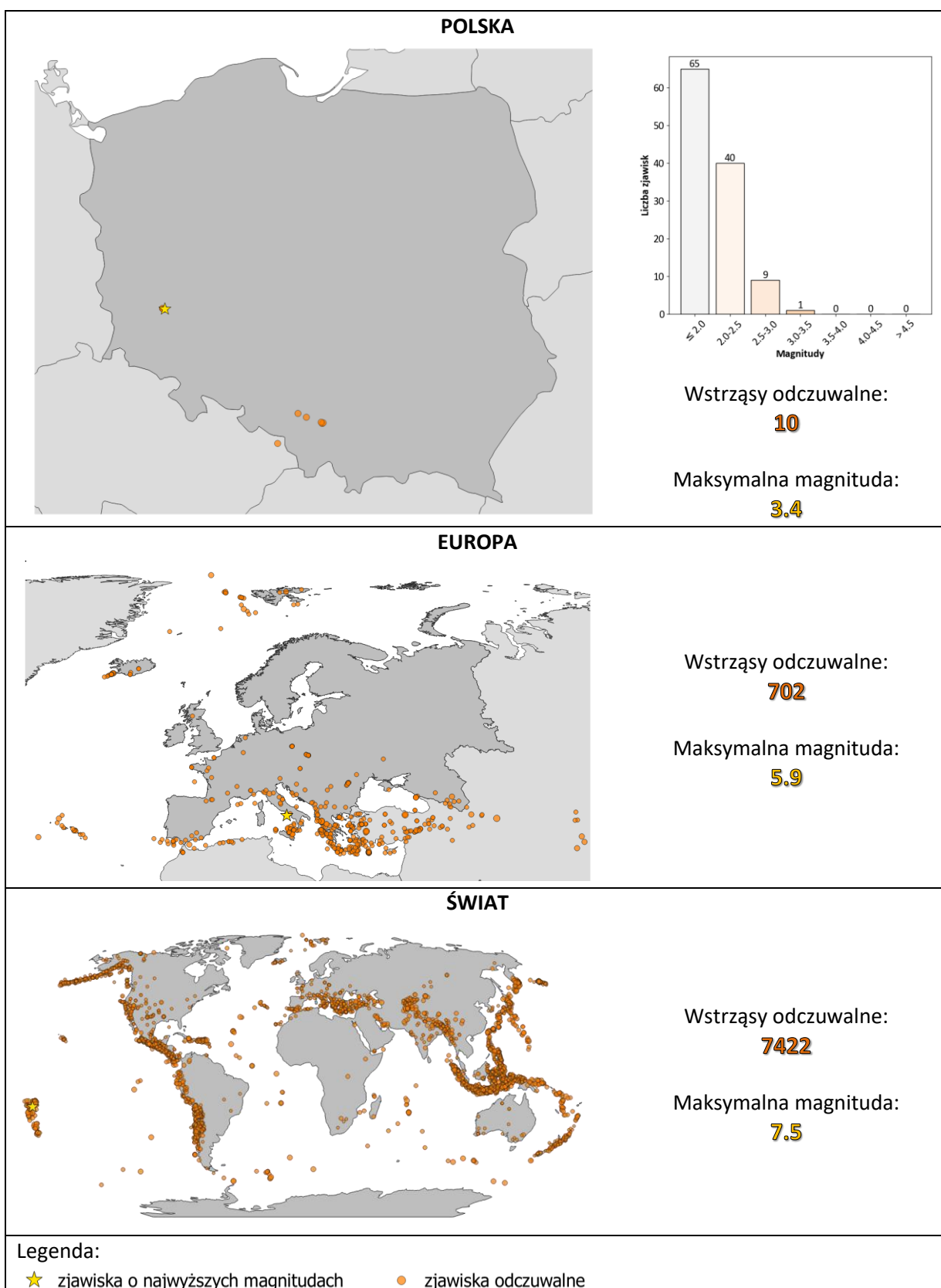
**NARODOWY FUNDUSZ  
OCHRONY ŚRODOWISKA  
i GOSPODARKI WODNEJ**

**Warszawa 01/04/2026 r.**

## KARTA INFORMACYJNA RAPORTU

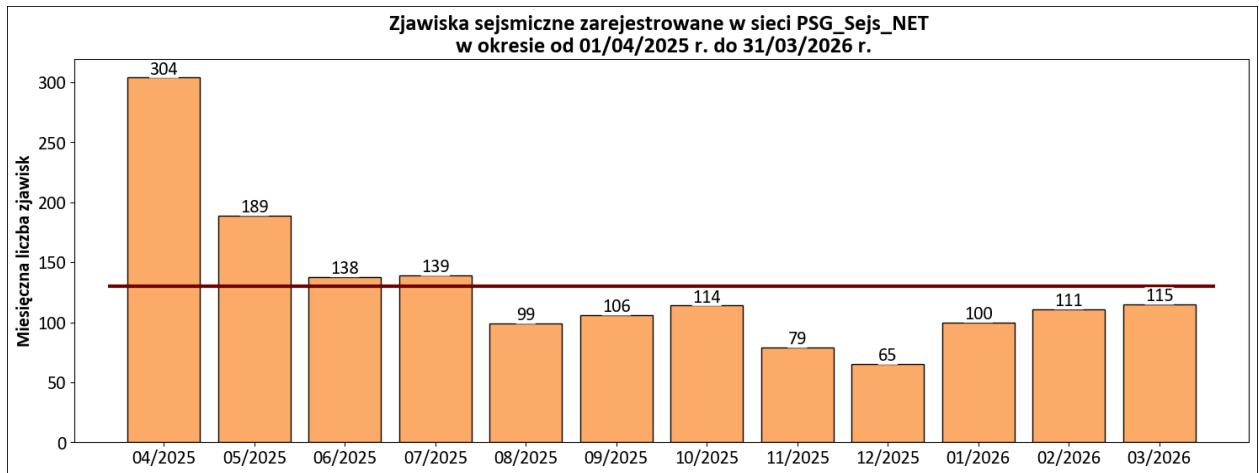
### Aktywność sejsmiczna w sieci PSG Sejs NET oraz bazie danych EMSC

marzec 2026: Polska, Europa, świat

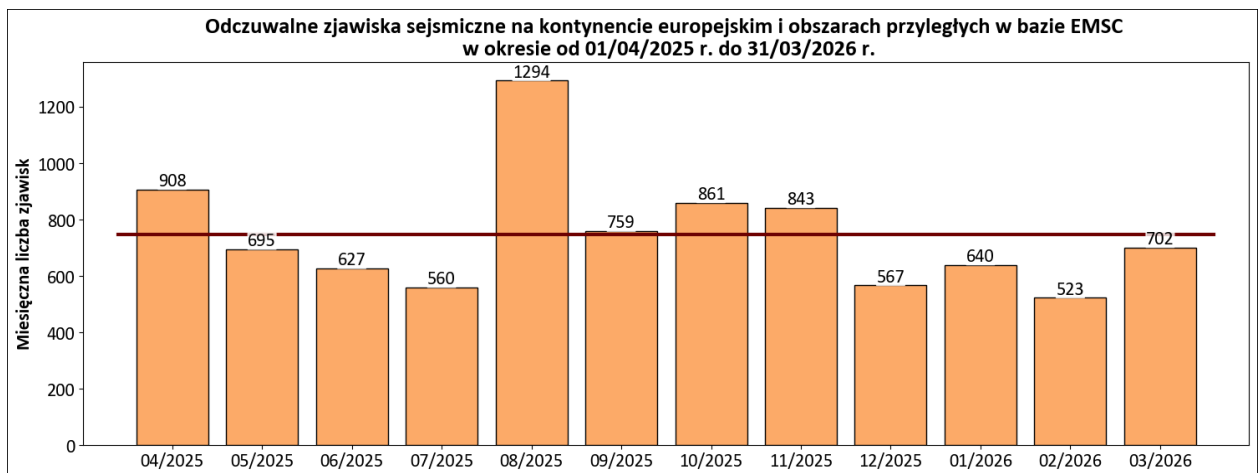


Wyniki monitoringu aktywności sejsmicznej mierzonej miesięczną liczebnością zidentyfikowanych zjawisk sejsmicznych w sieci PSG\_Sejs\_NET oraz bazie danych EMSC w okresie ostatnich 12 miesięcy (kwiecień 2025 – marzec 2026 r.).

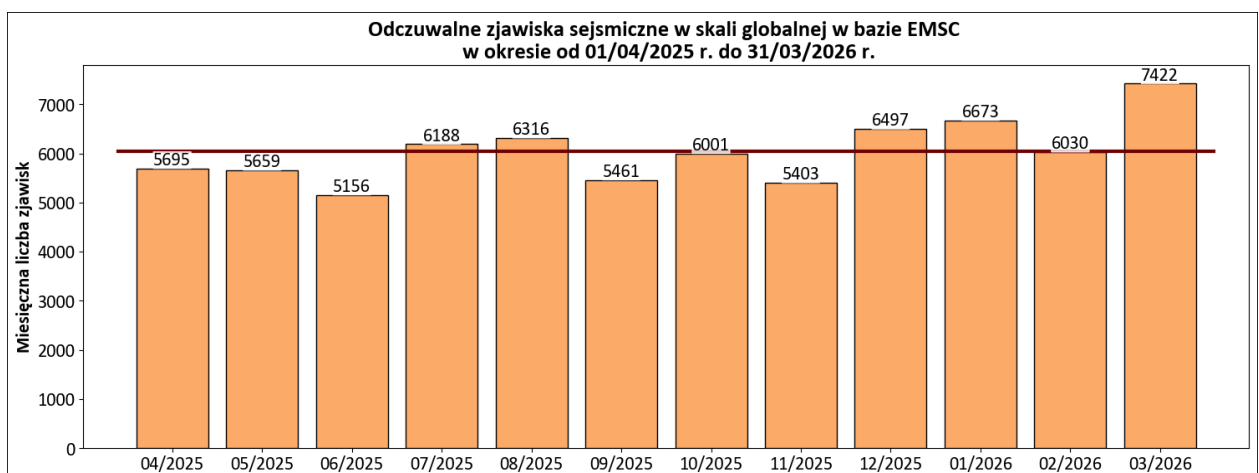
### POLSKA



### EUROPA



### ŚWIAT



Legenda:

— średnia miesięczna liczebność w okresie ostatnich 12 miesięcy

## 1. MONITORING AKTYWNOŚCI SEJSMICZNEJ NA OBSZARZE POLSKI I STREFIE PRZYGRANICZNEJ.

### 1.1. Sieć monitoringu aktywności sejsmicznej państwowej służby geologicznej – PSG\_Sejs\_NET.

Sieć monitoringu aktywności sejsmicznej państwowej służby geologicznej jest stale rozwijana i optymalizowana. W marcu 2026 r. w sieci PSG\_Sejs\_NET funkcjonowało 35 stacji sejsmicznych. Wśród nich są 33 stacje mobilne, wykorzystujące sejsmometry krótkookresowe i 2 stacje szerokopasmowe zainstalowane w stałych, terenowych laboratoriach geodynamicznych PSG w miejscowościach Dziwie, gm. Przedecz w powiecie kolskim oraz w Hołowni, gm. Podedwórze w powiecie parczewskim.

Do wykrywania i lokalizowania zjawisk sejsmicznych na terenie kraju, do sieci PSG\_Sejs\_NET zostało włączonych również 12 stacji mobilnych lokalnej Sudeckiej Sieci Sejsmologicznej (S9) utworzonej w ramach poprzedniego etapu projektu – MGP-IV. Ponadto do opracowań wykorzystywane są dane o otwartym dostępie z Polskiej Sieci Sejsmologicznej PLSN<sup>12</sup>, z sieci MORAVIA NETWORK (MONET)<sup>3</sup>, wybranych stacji: Czeskiej Regionalnej Sieci Sejsmologicznej CRSN<sup>4</sup>, Niemieckiej Regionalnej Sieci Sejsmologicznej GRSN<sup>5</sup>, GEOFON<sup>6</sup>, Słowackiej Narodowej Sieci Sejsmologicznej<sup>7</sup>.

Docelowo monitoring sejsmiczny oparty będzie na 50 punktach obserwacyjnych PSG, przy zachowaniu takiej topologii sieci, która zagwarantuje zdolność detekcji naturalnych zjawisk sejsmicznych oraz zjawisk pochodzenia antropogenicznego na terytorium całego kraju, ze szczególnym uwzględnieniem obszarów podwyższonego ryzyka sejsmicznego.

Mapa lokalizacji stanowisk monitoringu sejsmicznego sieci PSG\_Sejs\_NET wraz z lokalizacjami stacji innych sieci, z których dane wykorzystywane są do wykonywanych opracowań przedstawiona została na **Rys 1**.

---

<sup>1</sup>Rudziński, Łukasz & Lasocki, Stanisław & Orlecka-Sikora, Beata & Wiszniowski, Jan & Olszewska, Dorota & Kokowski, Jakub & Mirek, Janusz. (2021). Integrating Data under the European Plate Observing System from the Regional and Selected Local Seismic Networks in Poland. *Seismological Research Letters*. 92. 1717-1725. 10.1785/0220200354

<sup>2</sup>Institute of Geophysics, Polish Academy of Sciences. (1990). Polish Seismological Network [Data set]. International Federation of Digital Seismograph Networks. 10.7914/90rh-0q80

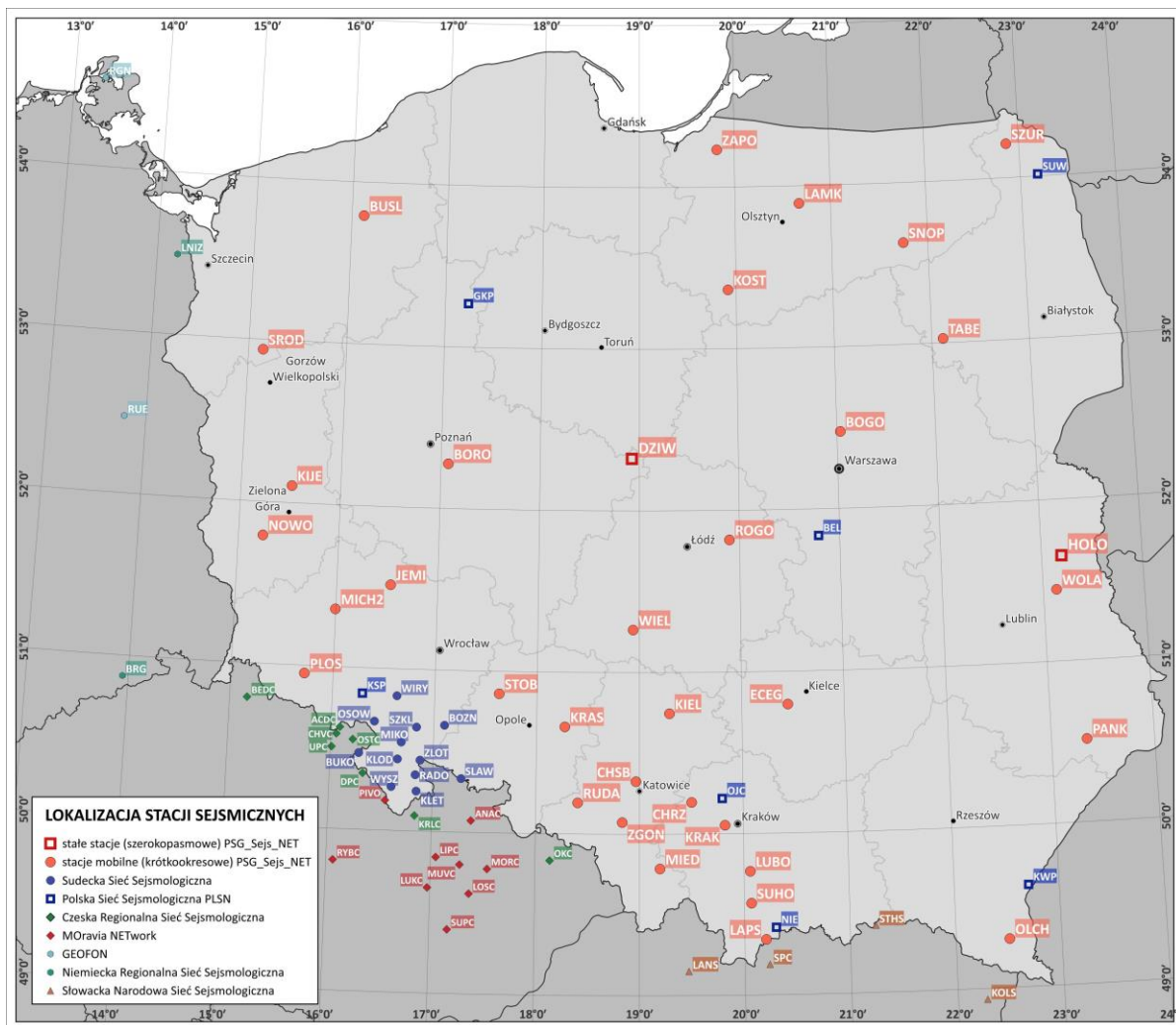
<sup>3</sup>Institute Of Physics Of The Earth Masaryk University Brno (IPE). (2017). MORAVIA NETWORK (MONET) [Data set]. GFZ Data Services. <https://doi.org/10.14470/Z6115722>

<sup>4</sup>Charles University in Prague (Czech), Institute of Geonics, Institute of Geophysics, Academy of Sciences of the Czech Republic, Institute of Physics of the Earth Masaryk University (Czech), & Institute of Rock Structure and Mechanics. (1973). Czech Regional Seismic Network [Data set]. International Federation of Digital Seismograph Networks. <https://doi.org/10.7914/SN/CZ>

<sup>5</sup>Federal Institute for Geosciences and Natural Resources. (1976). German Regional Seismic Network (GRSN). Bundesanstalt für Geowissenschaften und Rohstoffe. <https://doi.org/10.25928/mbx6-hr74>

<sup>6</sup>GEOFON Data Centre. (1993). *GEOFON Seismic Network* [Data set]. GFZ Data Services. <https://doi.org/10.14470/TR560404>

<sup>7</sup>ESI SAS; Former GPI SAS (Geophysical Institute Of The Slovak Academy Of Sciences). (2004). National Network of Seismic Stations of Slovakia [Data set]. GFZ Data Services. <https://doi.org/10.14470/FX099882>



**Rys. 1.** Mapa lokalizacji stacji sejsmicznych w sieci PSG\_Sejs\_NET wraz z lokalizacjami stacji innych sieci wykorzystywanych do opracowań (status aktualności 31/03/2026 r.).

## 1.2. Lokalne zjawiska sejsmiczne zarejestrowane na terytorium Polski oraz w strefie przygranicznej w marcu 2026 r. w sieci PSG\_Sejs\_NET

W marcu 2026 r. państwowa służba geologiczna zarejestrowała **115** lokalnych zjawisk sejsmicznych na terenie Polski oraz w strefie przygranicznej. Były to zjawiska o zróżnicowanej magnitudzie od **M1.4** do **M3.4**. Epicentra zjawisk zlokalizowane były w rejonach: Górnośląskiego Zagłębia Węglowego (GZW) oraz Legnicko-Głogowskiego Okręgu Miedziowego (LGOM). Lokalizacja zidentyfikowanych wstrząsów przedstawiona została na mapach **zał. 1** (epicentra zjawisk bieżących – marzec 2026) i **zał. 2** (epicentra zjawisk zidentyfikowanych od 01/01/2025 r. narastająco, w trakcie realizacji V etapu projektu MGP).

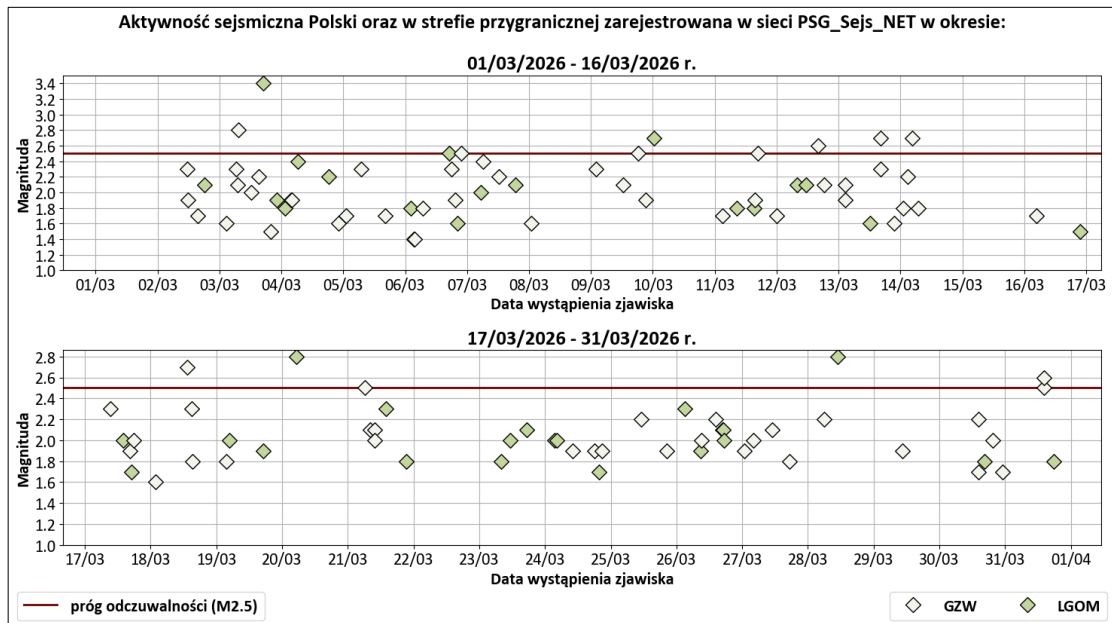
Wykaz zidentyfikowanych i zweryfikowanych zjawisk sejsmicznych, które wystąpiły w marcu br. na terenie Polski oraz w strefie przygranicznej przedstawiono w tabeli (**Tab. 1**).

**Tab. 1.** Lista zjawisk sejsmicznych zarejestrowanych w sieci PSG\_Sejs\_NET na terenie Polski oraz w strefie przygranicznej w okresie od 01/03/2026 do 31/03/2026 r.

Lp.	Data & Czas (UTC)	Szer. geogr. [°]	Dług. geogr. [°]	Głęb. ogniska [km]	Mag.	Region
1	2026-03-02 11:27:11	50.09	19.33	1	2.3	GZW
2	2026-03-02 11:41:41	50.20	18.97	2	1.9	GZW
3	2026-03-02 15:40:40	50.10	19.32	1	1.7	GZW
4	2026-03-02 18:07:21	51.53	15.99	1	2.1	LGOM
5	2026-03-03 02:42:02	50.15	19.12	1	1.6	GZW
6	2026-03-03 06:32:36	50.20	18.77	1	2.3	GZW
7	2026-03-03 06:56:00	50.09	19.32	1	2.1	GZW
8	2026-03-03 07:18:34	50.09	19.33	1	2.8	GZW
9	2026-03-03 12:12:39	50.21	18.96	0.7	2.0	GZW
10	2026-03-03 15:07:07	50.23	18.87	1	2.2	GZW
11	2026-03-03 16:54:01	51.54	16.07	1	3.4	LGOM
12	2026-03-03 19:51:55	50.14	19.13	2.8	1.5	GZW
13	2026-03-03 22:17:32	51.54	16.00	1	1.9	LGOM
14	2026-03-04 01:23:26	51.43	16.12	2.4	1.8	LGOM
15	2026-03-04 03:42:15	50.21	18.78	0.4	1.9	GZW
16	2026-03-04 04:09:59	50.18	18.99	0.5	1.9	GZW
17	2026-03-04 06:17:22	51.50	16.14	0.6	2.4	LGOM
18	2026-03-04 18:23:40	51.55	16.05	2.4	2.2	LGOM
19	2026-03-04 22:17:51	50.20	18.98	2.3	1.6	GZW
20	2026-03-05 01:05:13	50.18	19.06	1.5	1.7	GZW
21	2026-03-05 07:03:13	50.10	19.32	1	2.3	GZW
22	2026-03-05 16:09:58	50.20	18.98	1	1.7	GZW
23	2026-03-06 02:04:53	51.41	16.18	1	1.8	LGOM
24	2026-03-06 03:14:01	50.20	18.98	1	1.4	GZW
25	2026-03-06 03:40:07	50.21	18.96	1.3	1.4	GZW
26	2026-03-06 06:45:07	50.08	19.09	1	1.8	GZW
27	2026-03-06 16:58:55	51.55	16.03	1	2.5	LGOM
28	2026-03-06 17:57:47	50.08	19.34	1	2.3	GZW
29	2026-03-06 19:30:00	50.02	18.52	1	1.9	GZW
30	2026-03-06 20:11:34	51.54	16.05	1	1.6	LGOM
31	2026-03-06 21:37:39	50.22	18.86	1	2.5	GZW
32	2026-03-07 05:13:38	51.56	16.10	1	2.0	LGOM
33	2026-03-07 06:10:11	50.18	18.99	1	2.4	GZW
34	2026-03-07 12:12:52	50.22	18.78	1	2.2	GZW
35	2026-03-07 18:49:24	51.42	16.19	1	2.1	LGOM
36	2026-03-08 00:57:56	49.98	18.60	1	1.6	GZW
37	2026-03-09 01:51:00	50.21	18.78	1	2.3	GZW
38	2026-03-09 12:27:40	50.10	19.32	1	2.1	GZW
39	2026-03-09 18:23:14	50.11	19.32	1	2.5	GZW
40	2026-03-09 21:05:35	50.19	18.66	1	1.9	GZW
41	2026-03-10 00:18:03	51.55	16.03	1	2.7	LGOM
42	2026-03-11 03:01:28	50.24	18.86	1	1.7	GZW
43	2026-03-11 08:38:43	51.52	16.11	2.8	1.8	LGOM
44	2026-03-11 15:19:29	51.45	16.03	1	1.8	LGOM
45	2026-03-11 15:39:25	50.01	18.49	1	1.9	GZW
46	2026-03-11 16:47:54	50.21	18.85	1	2.5	GZW
47	2026-03-11 23:53:48	50.11	19.30	1	1.7	GZW
48	2026-03-12 07:52:03	51.58	16.02	1	2.1	LGOM
49	2026-03-12 11:31:50	51.60	16.14	1	2.1	LGOM
50	2026-03-12 16:07:23	49.83	18.43	1	2.6	GZW
51	2026-03-12 18:30:30	50.10	19.30	1	2.1	GZW
52	2026-03-13 02:26:15	50.18	19.30	0.8	2.1	GZW
53	2026-03-13 02:39:25	50.04	18.52	1	1.9	GZW
54	2026-03-13 12:06:11	51.43	16.22	1	1.6	LGOM
55	2026-03-13 16:17:15	50.09	19.32	1	2.3	GZW

56	2026-03-13 16:17:35	50.10	19.35	1	2.7	GZW
57	2026-03-13 21:28:11	50.22	19.00	1	1.6	GZW
58	2026-03-14 00:57:25	50.21	18.77	1.6	1.8	GZW
59	2026-03-14 02:47:45	50.25	18.75	1	2.2	GZW
60	2026-03-14 04:37:10	50.18	19.01	1	2.7	GZW
61	2026-03-14 06:51:18	50.20	18.66	1	1.8	GZW
62	2026-03-16 04:37:37	50.22	18.77	1	1.7	GZW
63	2026-03-16 21:43:49	51.42	16.18	0.8	1.5	LGOM
64	2026-03-17 09:21:16	50.11	19.32	1	2.3	GZW
65	2026-03-17 14:01:32	51.52	16.09	1	2.0	LGOM
66	2026-03-17 16:29:35	50.17	18.99	1	1.9	GZW
67	2026-03-17 17:03:10	51.42	16.20	1	1.7	LGOM
68	2026-03-17 17:58:28	50.18	18.79	1	2.0	GZW
69	2026-03-18 01:45:59	50.09	18.47	1	1.6	GZW
70	2026-03-18 13:23:24	50.11	19.31	1	2.7	GZW
71	2026-03-18 15:00:28	50.09	19.31	1	2.3	GZW
72	2026-03-18 15:19:41	50.22	18.85	1.2	1.8	GZW
73	2026-03-19 03:31:54	50.23	18.78	1	1.8	GZW
74	2026-03-19 04:50:37	51.45	16.12	1	2.0	LGOM
75	2026-03-19 17:07:36	51.43	16.19	1	1.9	LGOM
76	2026-03-20 05:15:39	51.55	16.01	1	2.8	LGOM
77	2026-03-21 06:16:49	50.22	19.00	1	2.5	GZW
78	2026-03-21 08:02:41	50.21	18.70	1	2.1	GZW
79	2026-03-21 09:43:49	50.20	18.77	1	2.1	GZW
80	2026-03-21 09:57:01	50.09	19.30	1	2.0	GZW
81	2026-03-21 14:02:29	51.52	16.11	1	2.3	LGOM
82	2026-03-21 21:15:17	51.45	16.15	1	1.8	LGOM
83	2026-03-23 07:57:20	51.55	16.00	1	1.8	LGOM
84	2026-03-23 11:23:10	51.52	15.92	1.7	2.0	LGOM
85	2026-03-23 17:13:41	51.53	15.98	1	2.1	LGOM
86	2026-03-24 03:34:49	51.42	16.18	2.6	2.0	LGOM
87	2026-03-24 04:24:39	51.47	16.09	1	2.0	LGOM
88	2026-03-24 10:06:46	50.12	19.28	2.5	1.9	GZW
89	2026-03-24 18:03:38	50.24	18.85	1	1.9	GZW
90	2026-03-24 19:46:43	51.41	16.22	1	1.7	LGOM
91	2026-03-24 20:42:48	50.03	18.54	1	1.9	GZW
92	2026-03-25 11:12:48	50.10	19.30	2.8	2.2	GZW
93	2026-03-25 20:25:20	50.24	18.85	1	1.9	GZW
94	2026-03-26 03:03:33	51.43	16.19	1	2.3	LGOM
95	2026-03-26 08:46:48	51.52	16.09	1	1.9	LGOM
96	2026-03-26 09:13:14	50.23	18.79	1	2.0	GZW
97	2026-03-26 14:20:38	50.10	19.31	3.5	2.2	GZW
98	2026-03-26 16:44:13	50.24	18.84	1	2.1	GZW
99	2026-03-26 17:12:11	51.42	16.18	1	2.1	LGOM
100	2026-03-26 17:29:36	51.42	16.06	1.3	2.0	LGOM
101	2026-03-27 00:43:57	50.09	19.33	2.8	1.9	GZW
102	2026-03-27 03:58:50	50.18	19.01	1.8	2.0	GZW
103	2026-03-27 11:00:43	50.09	19.31	1	2.1	GZW
104	2026-03-27 17:13:03	50.25	18.86	1	1.8	GZW
105	2026-03-28 05:52:31	50.20	19.00	1	2.2	GZW
106	2026-03-28 10:56:14	51.54	16.04	1	2.8	LGOM
107	2026-03-29 10:30:47	50.20	19.00	1	1.9	GZW
108	2026-03-30 14:13:17	50.05	18.47	1	1.7	GZW
109	2026-03-30 14:20:19	50.11	19.30	2.7	2.2	GZW
110	2026-03-30 16:28:54	51.53	15.99	1	1.8	LGOM
111	2026-03-30 19:32:09	50.10	19.30	4.2	2.0	GZW
112	2026-03-30 23:05:41	50.24	19.01	1	1.7	GZW
113	2026-03-31 14:05:38	50.10	19.31	1	2.5	GZW
114	2026-03-31 14:17:32	50.23	18.84	1	2.6	GZW
115	2026-03-31 17:46:28	51.42	16.22	1	1.8	LGOM

Sekwencję czasową zjawisk sejsmicznych zarejestrowanych w marcu 2026 r. w sieci PSG\_Sejs\_NET pokazano na **Rys. 2**, a ich statystykę w **Tab. 2**.



**Rys. 2.** Sekwencja czasowa zjawisk sejsmicznych zarejestrowanych w marcu 2026 r. w sieci PSG\_Sejs\_NET na terenie Polski oraz w strefie przygranicznej w podziale na regiony, w których zjawiska wystąpiły.

**Tab. 2.** Statystyka zjawisk sejsmicznych zarejestrowanych na obszarze Polski oraz w strefie przygranicznej w marcu 2026 r. w sieci PSG\_Sejs\_NET.

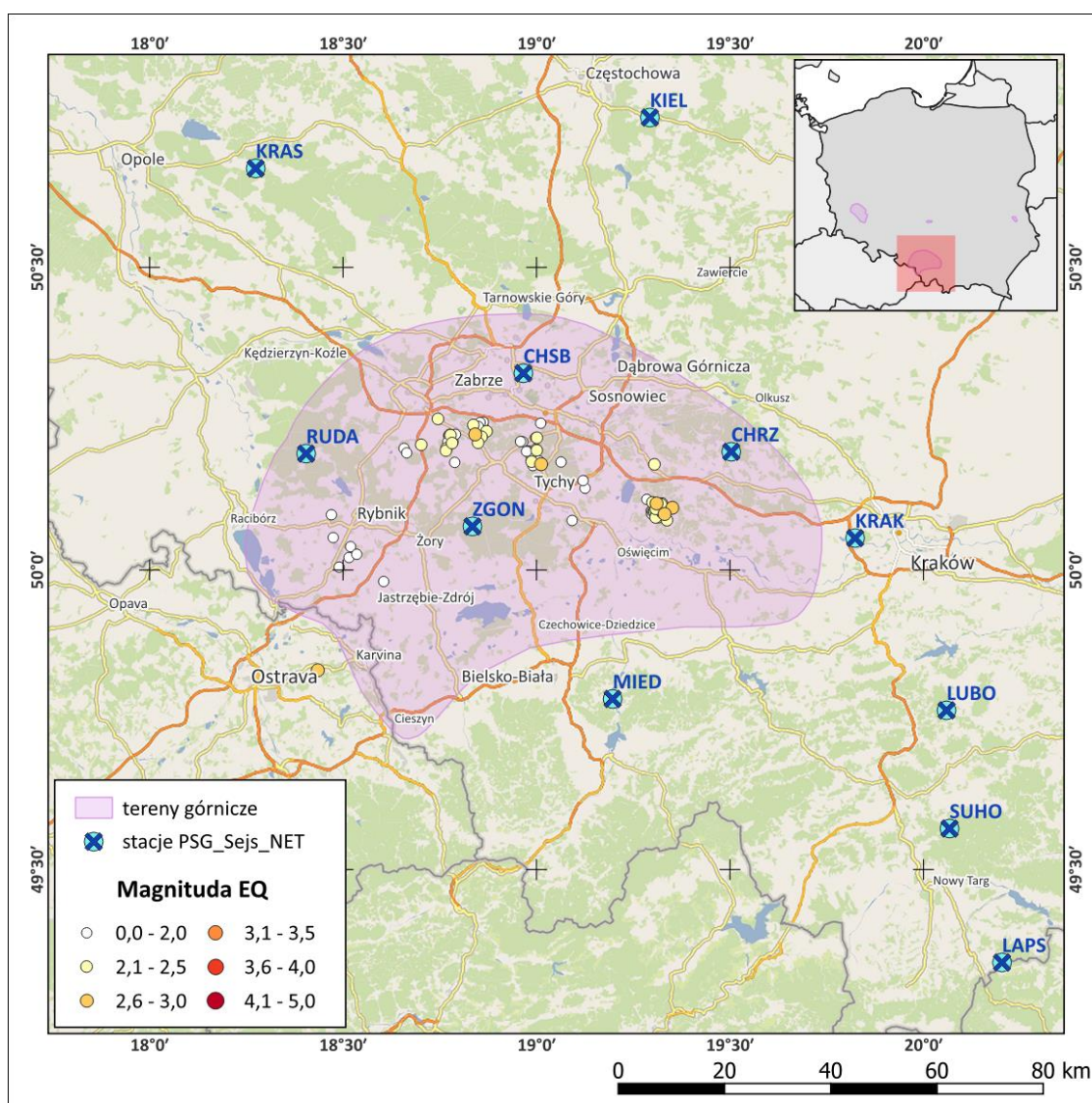
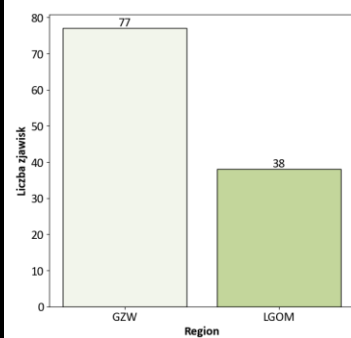
Magnituda		Liczba zdarzeń	%
>	≤		
0.0	2.0	65	56.5
2.0	2.5	40	34.8
2.5	3.0	9	7.8
3.0	3.5	1	0.9
3.5	4.0	0	0.0
4.0	4.5	0	0.0
<b>M&gt;4.5</b>		<b>0</b>	<b>0.0</b>
<b>Razem:</b>		<b>115</b>	<b>100.0</b>
<b>w tym:</b>	<b>M≤2.5</b>	<b>105</b>	<b>91.3</b>
	<b>M&gt;2.5</b>	<b>10</b>	<b>8.7</b>
	<b>M<sub>min.</sub></b>	<b>1.4</b>	
	<b>M<sub>śr.</sub></b>	<b>2.0</b>	
	<b>M<sub>maks.</sub></b>	<b>3.4</b>	

W **Tab. 3** zaprezentowano liczebność zjawisk sejsmicznych z podziałem na umowne regiony. W marcu 2026 r. najbardziej aktywnym sejsmicznie regionem był region **Górnośląskiego Zagłębia Węglowego**, w obrębie którego zarejestrowano **77** zjawisk. GZW jest położone w południowej Polsce oraz w rejonie Ostrawa-Karwina w Czechach. Spośród 77 zjawisk zidentyfikowanych w tym regionie, 76 miało miejsce na obszarze Polski, a 1 na obszarze Czech. W regionie Legnicko-Głogowskiego Okręgu Miedziowego zidentyfikowano **38** zjawisk sejsmicznych.

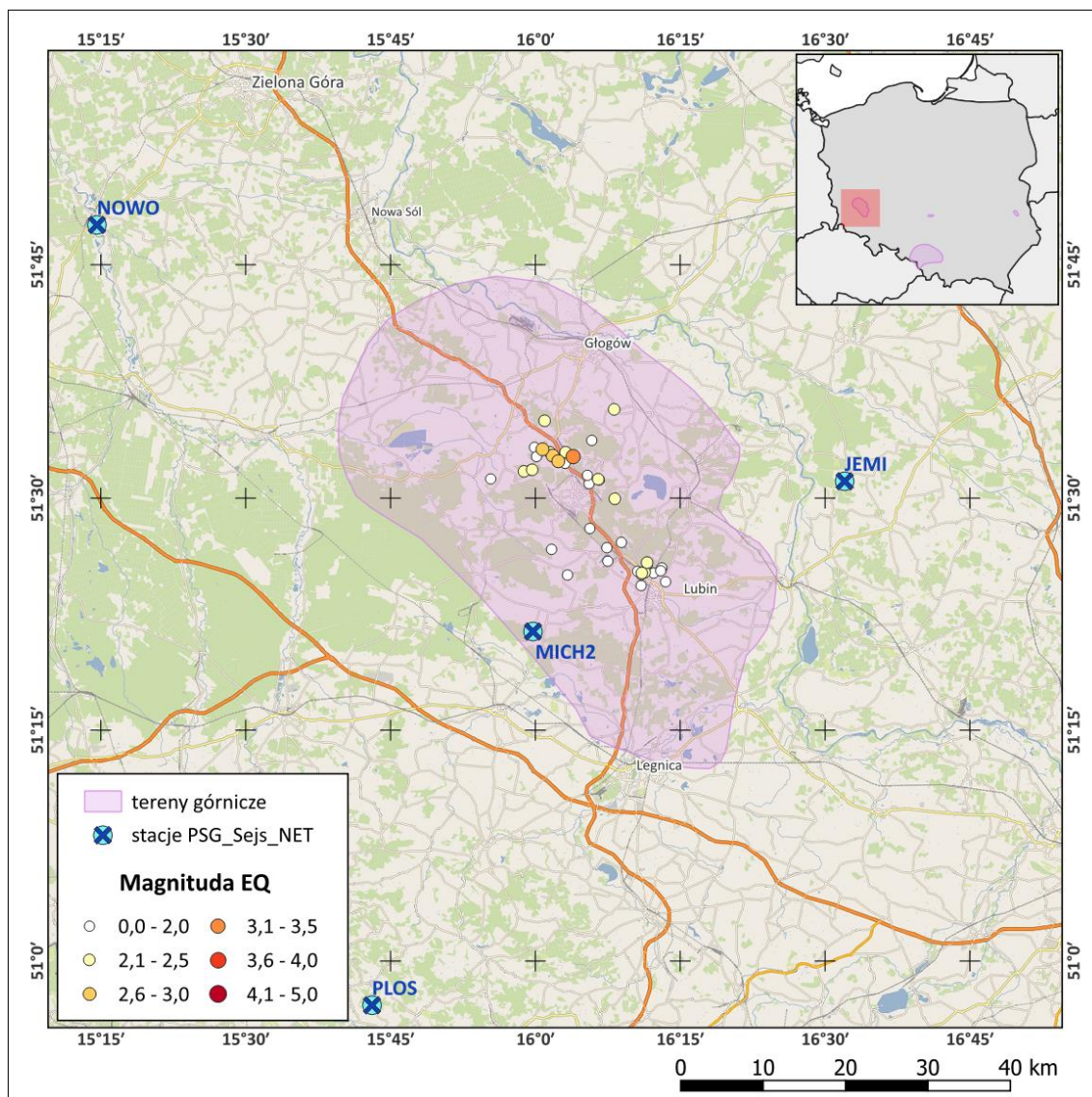
Lokalizacje epicentrow zjawisk z regionu GZW i LGOM zaprezentowano na **Rys. 3** i **Rys. 4**. Tereny górnicze, w których prowadzona jest eksploatacja górnictwa i występuje zagrożenie tzw. sejsmicznością indukowaną zaznaczono również na mapach **załączników 1 i 2**.

**Tab. 3.** Liczebność zjawisk sejsmicznych zarejestrowanych na obszarze Polski oraz w strefie przygranicznej w marcu 2026 r. w sieci PSG\_Sejs\_NET w podziale na umowne regiony.

Lp.	Nazwa obszaru	Liczba zjawisk sejsmicznych	Liczba zjawisk sejsmicznych odczuwalnych
1	GZW (w tym Ostrawa-Karwina)	77	6
2	LGOM	38	4
3	LZW (KWK Bogdanka)	0	0
4	KWB Bełchatów	0	0
5	Podhale	0	0
6	Karpaty C & E i Przedgórze	0	0
7	Rejon Jarocina	0	0
8	Słowacja	0	0
9	Sudety i Przedgórze	0	0
10	KWB Turów	0	0
11	nieklasyfikowane	0	0
<b>Razem (od 01/03/2026 do 31/03/2026 r.)</b>		<b>115</b>	<b>10</b>



**Rys. 3.** Lokalizacja epicentrów zjawisk sejsmicznych zarejestrowanych w sieci PSG\_Sejs\_NET państwowej służby geologicznej na obszarze GZW w marcu 2026 r. (dane i oprac. PSG, podkład mapowy: OSM).



**Rys. 4.** Lokalizacja epicentrów zjawisk sejsmicznych zarejestrowanych w sieci PSG\_Sejs\_NET państwowej służby geologicznej na obszarze LGOM w marcu 2026 r. (dane i oprac. PSG, podkład mapowy: OSM).

### 1.3. Górnośląska Regionalna Sieć Sejsmologiczna.

Na obszarze Górnośląskiego Zagłębia Węglowego zlokalizowane są stacje sejsmiczne Górnośląskiej Regionalnej Sieci Sejsmologicznej (GRSS). Zadaniem GRSS jest prowadzenie ciągłych obserwacji aktywności sejsmicznej, będącej skutkiem naruszenia równowagi naprężeń w ośrodku geologicznym na obszarze GZW w rezultacie bieżącej i wygaszonej eksploatacji górniczej.

W **Tab. 4** zaprezentowano wykaz zjawisk sejsmicznych zarejestrowanych w marcu 2026 r. w sieci monitoringu sejsmicznego GRSS.

**Tab. 4.** Wykaz zdarzeń sejsmicznych zarejestrowanych w sieci GRSS w marcu 2026 r. (na podst. danych GRSS, wg stanu na dzień 01/04/2026 r. 6:00).

Lp.	Data & Czas (UTC)	Szer. geogr. [°]	Dług. geogr. [°]	Mag.
1	2026-03-02 11:27:11	50.09	19.36	2.4
2	2026-03-02 15:40:41	50.09	19.36	2.4
3	2026-03-03 02:42:02	50.13	19.19	2.2
4	2026-03-03 06:32:36	50.21	18.78	2.6
5	2026-03-03 06:56:00	50.09	19.36	2.5
6	2026-03-03 07:18:35	50.09	19.36	3.2
7	2026-03-03 12:12:39	50.20	19.02	2.3
8	2026-03-03 15:07:07	50.23	18.87	2.5
9	2026-03-03 19:51:56	50.13	19.19	2.2
10	2026-03-04 03:42:16	50.21	18.79	2.2
11	2026-03-04 04:09:59	50.21	19.03	2.1
12*)	2026-03-04 05:00:05	50.09	19.36	2.2
13*)	2026-03-04 09:12:14	50.09	19.36	1.9
14*)	2026-03-04 14:42:12	50.09	19.36	2.0
15*)	2026-03-04 15:58:30	50.22	19.04	2.4
16*)	2026-03-04 18:55:14	50.09	19.36	2.1
17	2026-03-05 01:05:13	50.18	19.08	2.3
18	2026-03-05 07:03:14	50.09	19.36	2.7
19*)	2026-03-05 16:08:32	50.09	19.36	2.1
20	2026-03-05 16:09:58	50.21	19.03	2.3
21	2026-03-06 06:45:07	50.08	19.12	2.4
22*)	2026-03-06 06:51:05	50.09	19.36	1.9
23*)	2026-03-06 14:49:45	50.21	19.03	2.1
24*)	2026-03-06 15:25:55	50.09	19.36	2.2
25*)	2026-03-06 15:42:03	50.13	19.19	2.4
26	2026-03-06 17:57:47	50.09	19.36	2.8
27	2026-03-06 19:30:00	50.03	18.54	2.1
28	2026-03-06 21:37:40	50.23	18.87	2.8
29	2026-03-07 06:10:12	50.21	19.03	2.7
30	2026-03-07 12:12:53	50.22	18.79	2.5
31	2026-03-08 00:57:56	49.98	18.61	2.4
32*)	2026-03-08 14:21:55	50.09	19.36	1.9
33	2026-03-09 01:51:00	50.21	18.78	2.7
34*)	2026-03-09 09:28:00	50.09	19.36	2.1
35	2026-03-09 12:27:41	50.09	19.36	2.5
36*)	2026-03-09 14:58:38	50.21	19.03	2.2
37	2026-03-09 18:23:14	50.09	19.36	2.9
38	2026-03-09 21:05:35	50.21	18.65	2.5
39*)	2026-03-10 01:59:40	50.03	18.54	2.1
40*)	2026-03-10 13:10:39	50.23	18.87	2.2
41*)	2026-03-10 16:30:10	50.13	19.19	2.4
42	2026-03-11 03:01:28	50.24	18.89	2.2
43*)	2026-03-11 07:22:41	50.09	19.36	2.2
44	2026-03-11 15:39:25	50.03	18.54	2.0
45	2026-03-11 16:47:54	50.23	18.87	2.9
46	2026-03-11 23:53:48	50.09	19.36	2.3
47*)	2026-03-12 08:47:51	50.09	19.36	2.1
48*)	2026-03-12 11:02:47	50.09	19.36	2.3
49	2026-03-12 18:30:30	50.09	19.36	2.3
50*)	2026-03-12 18:34:21	50.21	19.03	2.1
51	2026-03-13 02:26:14	50.18	19.34	2.4
52	2026-03-13 02:39:24	50.03	18.54	2.2
53*)	2026-03-13 06:00:51	50.25	18.84	2.3
54*)	2026-03-13 11:23:15	50.21	19.03	2.3
55	2026-03-13 16:17:15	50.09	19.36	2.7

56	2026-03-13 16:17:31	50.09	19.36	2.9
57*)	2026-03-13 16:18:53	50.09	19.36	2.1
58	2026-03-14 00:57:25	50.21	18.79	2.4
59	2026-03-14 02:47:45	50.26	18.74	2.7
60	2026-03-14 04:37:10	50.21	19.03	3.1
61	2026-03-17 09:21:16	50.09	19.36	2.5
62*)	2026-03-17 10:03:32	50.03	18.53	1.8
63*)	2026-03-17 14:11:33	50.23	18.87	2.6
64*)	2026-03-17 15:02:55	50.09	19.36	2.2
65	2026-03-17 16:29:35	50.20	19.03	2.4
66	2026-03-17 17:58:28	50.19	18.80	2.4
67	2026-03-18 01:45:59	50.08	18.46	2.2
68	2026-03-18 13:23:25	50.09	19.36	3.2
69	2026-03-18 15:00:28	50.09	19.36	2.7
70	2026-03-18 15:19:41	50.23	18.87	2.3
71*)	2026-03-18 15:27:42	50.09	19.36	2.2
72*)	2026-03-19 10:30:05	50.09	19.36	2.1
73*)	2026-03-19 13:44:08	50.23	18.87	2.0
74*)	2026-03-19 17:21:56	50.09	19.36	2.1
75*)	2026-03-19 17:21:58	50.05	18.46	1.8
76*)	2026-03-20 09:22:58	50.09	19.36	2.0
77*)	2026-03-20 09:56:44	50.09	19.36	1.9
78	2026-03-21 06:16:50	50.22	19.03	2.8
79	2026-03-21 08:02:40	50.22	18.71	2.4
80	2026-03-21 09:43:49	50.22	18.78	2.6
81	2026-03-21 09:57:01	50.09	19.36	2.4
82*)	2026-03-22 07:11:12	50.24	18.89	2.1
83*)	2026-03-23 12:54:40	50.26	18.74	2.5
84	2026-03-24 10:06:47	50.09	19.36	2.3
85*)	2026-03-24 11:27:46	50.09	19.35	1.9
86*)	2026-03-24 17:16:39	50.23	18.87	1.9
87	2026-03-24 18:03:39	50.23	18.87	2.6
88	2026-03-24 20:42:48	50.03	18.54	2.3
89	2026-03-25 11:12:48	50.09	19.36	2.6
90	2026-03-25 20:25:20	50.23	18.87	2.5
91	2026-03-26 09:13:13	50.22	18.79	2.4
92	2026-03-26 14:20:38	50.09	19.35	2.7
93	2026-03-26 16:44:13	50.23	18.88	2.2
94*)	2026-03-26 21:16:12	50.09	19.36	2.1
95	2026-03-27 00:43:57	50.18	19.34	2.3
96	2026-03-27 11:00:43	50.09	19.36	2.3
97	2026-03-27 17:13:03	50.23	18.87	2.3
98*)	2026-03-27 18:37:14	50.09	19.36	2.1
99*)	2026-03-27 20:56:19	50.09	19.36	1.8
100*)	2026-03-28 09:53:20	50.08	18.46	2.1
*) Zdarzenia sejsmiczne niezidentyfikowane w sieci PSG_Sejs_NET				

Statystykę zdarzeń sejsmicznych na obszarze objętym monitoringiem Górnośląskiej Regionalnej Sieci Sejsmologicznej (na podst. danych z bazy GRSS) podsumowano w **Tab. 5**.

**Tab. 5.** Statystyka zdarzeń sejsmicznych na obszarze objętym monitoringiem Górnośląskiej Regionalnej Sieci Sejsmologicznej w marcu 2026 roku.

Magnituda		Liczba zdarzeń	%
>	≤		
0.0	2.5	79	79.0
2.5	3.0	18	18.0
3.0	3.5	3	3.0
3.5	4.0	0	0.0
4.0	4.5	0	0.0
<b>M&gt;4.5</b>		<b>0</b>	<b>0.0</b>
<b>Razem:</b>		<b>100</b>	<b>100.0</b>
<b>w tym:</b>	<b>M≤2.5</b>	<b>79</b>	<b>79.0</b>
	<b>M&gt;2.5</b>	<b>21</b>	<b>21.0</b>
	<b>M<sub>min.</sub></b>	<b>1.8</b>	
	<b>M<sub>śr.</sub></b>	<b>2.3</b>	
	<b>M<sub>maks.</sub></b>	<b>3.2</b>	

#### 1.4. Europejskie, Śródziemnomorskie Centrum Sejsmologiczne (European-Mediterranean Seismological Centre).

Europejskie, Śródziemnomorskie Centrum Sejsmologiczne (EMSC) rejestruje, przetwarza i analizuje dane sejsmologiczne z obszaru Europy oraz w skali globalnej z obszaru całej kuli ziemskiej. Sieć detekcji wstrząsów EMSC oparta jest o istniejące, narodowe sieci monitoringu sejsmicznego z ponad 70 krajów. W bazie danych sieci EMSC rejestrowane są zjawiska sejsmiczne, których epicentra zlokalizowane są również na terytorium Polski.

W marcu 2026 r. do zasobów bazy danych EMSC włączone zostały wstrząsy, których identyfikacji dokonano na podstawie danych dostarczonych przez sejsmometry sieci PLSN (Polska Sieć Sejsmologiczna - Instytut Geofizyki PAN) oraz sejsmometry sieci krajów ościennych.

Listę zjawisk sejsmicznych z bazy danych EMSC, których epicentra zlokalizowane były na terytorium Polski przedstawiono w **Tab. 6**.

**Tab. 6.** Zjawiska sejsmiczne na obszarze Polski w marcu 2026 r. zarejestrowane w sieci EMSC (wyciąg z bazy danych EMSC).

Lp.	Data & Czas (UTC)	Szer. geogr. [°]	Dług. geogr. [°]	Głęb. ogniska [km]	Mag.	Region
1	2026-03-02 11:27:11	50.08	19.36	0	2.0	POLAND
2	2026-03-03 06:32:35	50.22	18.72	1	2.2	POLAND
3	2026-03-03 07:18:34	50.13	19.26	10	2.7	POLAND
4	2026-03-03 15:07:06	50.25	18.85	0	2.2	POLAND
5	2026-03-03 16:53:59	51.55	16.14	1	3.6	POLAND
6	2026-03-04 06:17:22	51.52	16.12	0	2.5	POLAND
7	2026-03-04 18:23:39	51.57	16.18	1	2.4	POLAND
8	2026-03-05 07:03:12	50.07	19.40	10	2.2	POLAND
9	2026-03-06 16:58:53	51.62	16.20	7	2.8	POLAND
10	2026-03-06 17:57:47	50.10	19.34	0	2.3	POLAND
11	2026-03-06 19:29:59	50.07	18.49	1	2.1	POLAND
12	2026-03-06 21:37:39	50.23	18.84	1	2.6	POLAND
13*)	2026-03-07 01:04:11	49.85	18.94	10	2.0	POLAND
14	2026-03-07 05:13:38	51.53	16.11	1	2.4	POLAND
15	2026-03-07 06:10:11	50.24	19.02	1	2.4	POLAND
16	2026-03-07 12:12:52	50.22	18.79	10	2.3	POLAND
17	2026-03-07 18:49:23	51.42	16.23	0	2.2	POLAND
18	2026-03-08 00:57:55	50.00	18.63	0	2.0	POLAND

19	2026-03-09 01:50:59	50.24	18.72	1	2.2	POLAND
20	2026-03-09 12:27:39	50.09	19.37	10	2.2	POLAND
21	2026-03-09 18:23:13	50.07	19.28	8	2.6	POLAND
22	2026-03-09 21:05:35	50.19	18.63	1	2.0	POLAND
23	2026-03-10 00:18:01	51.57	16.03	1	2.6	POLAND
24	2026-03-11 16:47:53	50.18	18.87	10	2.5	POLAND
25	2026-03-12 07:52:03	51.58	16.07	0	2.2	POLAND
26	2026-03-12 11:31:50	51.56	16.20	0	2.4	POLAND
27	2026-03-12 18:30:30	50.09	19.35	1	2.1	POLAND
28	2026-03-13 02:26:14	50.21	19.31	0	2.1	POLAND
29	2026-03-13 02:39:25	50.05	18.50	0	1.9	POLAND
30*)	2026-03-13 11:23:15	50.24	18.98	1	2.1	POLAND
31	2026-03-13 12:06:11	51.45	16.23	0	2.2	POLAND
32	2026-03-13 16:17:14	50.08	19.35	1	2.7	POLAND
33*)	2026-03-13 16:42:39	51.51	16.16	1	2.0	POLAND
34	2026-03-14 00:57:24	50.26	18.74	0	2.2	POLAND
35	2026-03-14 02:47:44	50.29	18.69	1	2.2	POLAND
36	2026-03-14 04:37:09	50.19	18.96	10	2.7	POLAND
37	2026-03-14 06:51:18	50.21	18.66	1	2.2	POLAND
38	2026-03-17 09:21:14	50.11	19.32	1	2.3	POLAND
39	2026-03-17 14:01:30	51.61	16.22	1	2.3	POLAND
40*)	2026-03-17 14:11:33	50.27	18.83	0	2.1	POLAND
41	2026-03-17 16:29:34	50.21	18.99	0	2.1	POLAND
42	2026-03-17 17:58:28	50.22	18.77	0	2.0	POLAND
43	2026-03-18 01:45:59	50.10	18.47	0	2.0	POLAND
44	2026-03-18 13:23:23	50.16	19.31	1	2.8	POLAND
45	2026-03-18 15:00:27	50.07	19.36	0	2.3	POLAND
46	2026-03-18 15:19:40	50.27	18.84	0	2.0	POLAND
47*)	2026-03-18 15:32:42	50.22	19.09	1	2.1	POLAND
48	2026-03-19 04:50:36	51.45	16.24	0	2.3	POLAND
49*)	2026-03-19 11:04:45	51.45	16.17	0	2.1	POLAND
50	2026-03-20 05:15:38	51.58	16.14	10	2.8	POLAND
51	2026-03-21 06:16:49	50.19	19.04	10	2.6	POLAND
52	2026-03-21 09:43:48	50.22	18.75	0	2.3	POLAND
53	2026-03-21 09:57:01	50.09	19.39	0	2.0	POLAND
54	2026-03-21 14:02:28	51.54	16.18	1	2.5	POLAND
55	2026-03-23 17:13:40	51.57	16.02	1	2.3	POLAND
56	2026-03-24 04:24:38	51.46	16.15	1	2.3	POLAND
57	2026-03-24 18:03:36	50.35	18.81	1	2.3	POLAND
58	2026-03-24 20:42:47	50.06	18.49	0	2.1	POLAND
59	2026-03-25 11:12:47	50.11	19.31	10	2.2	POLAND
60	2026-03-25 20:25:19	50.31	18.85	0	2.1	POLAND
61	2026-03-26 03:03:32	51.43	16.24	1	2.5	POLAND
62	2026-03-26 08:46:47	51.54	16.17	0	2.2	POLAND
63	2026-03-26 14:20:38	50.10	19.33	0	2.4	POLAND
64	2026-03-27 03:58:49	50.23	19.01	0	2.3	POLAND
65*)	2026-03-27 10:03:24	50.09	18.47	1	2.1	POLAND
66	2026-03-27 11:00:43	50.06	19.35	0	2.2	POLAND
67	2026-03-27 17:13:02	50.26	18.88	1	2.1	POLAND
68	2026-03-28 05:52:30	50.22	18.97	1	2.4	POLAND
69	2026-03-28 10:56:13	51.55	16.13	3	2.8	POLAND
70	2026-03-29 10:30:46	50.22	18.99	0	2.1	POLAND
71	2026-03-30 14:13:17	50.09	18.44	0	2.0	POLAND
72	2026-03-30 14:20:19	50.10	19.35	0	2.3	POLAND
73	2026-03-30 19:32:09	50.10	19.32	1	2.1	POLAND
74*)	2026-03-31 13:27:44	51.51	16.15	0	2.1	POLAND
75	2026-03-31 14:05:37	50.13	19.33	11	2.6	POLAND
76	2026-03-31 14:17:31	50.29	18.84	6	2.6	POLAND
*) Zdarzenia sejsmiczne niezidentyfikowane w sieci PSG_Sejs_NET						

Statystykę zdarzeń sejsmicznych z terytorium Polski zarejestrowanych w bazie EMSC podsumowano w **Tab. 7**.

**Tab. 7.** Statystyka zdarzeń sejsmicznych z terytorium Polski zarejestrowanych w bazie EMSC w marcu 2026 roku.

Magnituda		Liczba zdarzeń	%
>	≤		
0.0	2.5	62	81.6
2.5	3.0	13	17.1
3.0	3.5	0	0.0
3.5	4.0	1	1.3
4.0	4.5	0	0.0
<b>M&gt;4.5</b>		<b>0</b>	<b>0.0</b>
<b>Razem:</b>		<b>76</b>	<b>100.0</b>
<b>w tym:</b>	<b>M≤2.5</b>	<b>62</b>	<b>81.6</b>
	<b>M&gt;2.5</b>	<b>14</b>	<b>18.4</b>
	<b>M<sub>min.</sub></b>	<b>1.9</b>	
	<b>M<sub>śr.</sub></b>	<b>2.3</b>	
	<b>M<sub>maks.</sub></b>	<b>3.6</b>	

## 2. AKTYWNOŚĆ SEJSMICZNA NA KONTYNENCIE EUROPEJSKIM I W SKALI GLOBALNEJ (WG DANYCH EMSC).

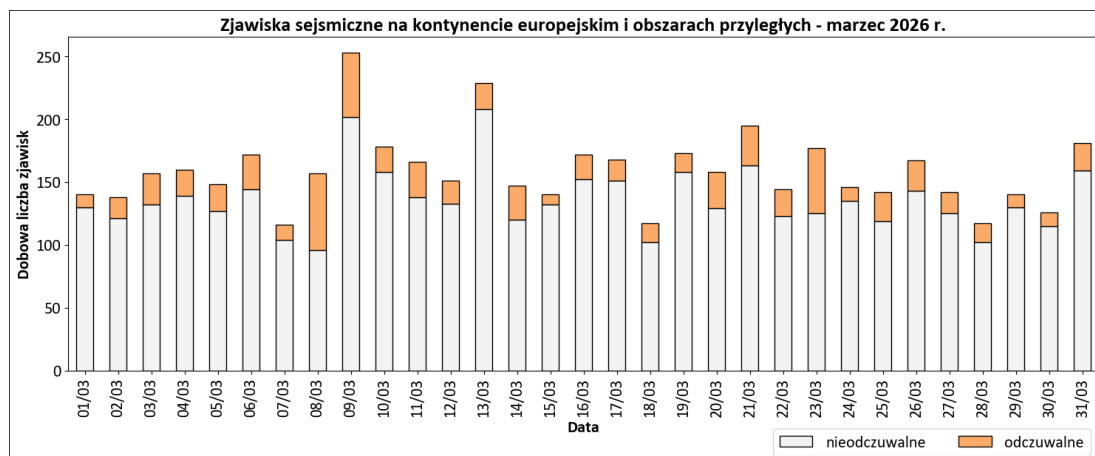
### 2.1. Aktywność sejsmiczna na kontynencie europejskim.

Na obszarze kontynentu europejskiego i obszarach przyległych w marcu 2026 roku w bazie danych EMSC zarejestrowano **4917** zdarzeń sejsmicznych o magnitudzie od **M0.0** do **M5.9**.

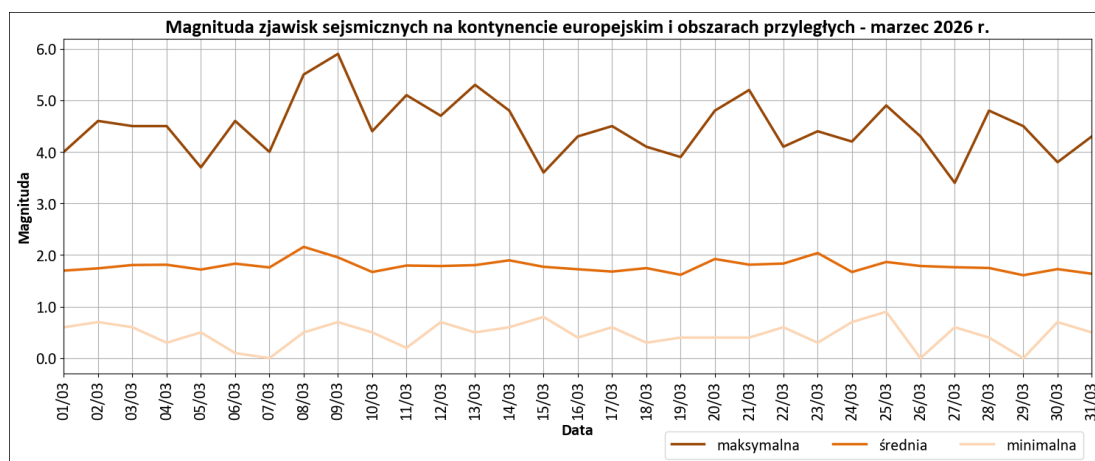
Lokalizacje epicentrow trzęsień ziemi obejmujących obszar Europy i tereny przyległe zaprezentowano na **zał. 3**. Charakterystykę europejskiej aktywności sejsmicznej w marcu 2026 r., dla zjawisk z obszaru w granicach mapy podst. (**zał. 3**), przedstawiono w **Tab. 8** (statystyka wstrząsów) i na **Rys. 5** i **Rys. 6** (sekwencja zjawisk – dobowa liczebność i magnituda).

**Tab. 8.** Statystyka zjawisk sejsmicznych zarejestrowanych w bazie EMSC na obszarze Europy i obszarach przyległych (w granicach obszaru mapy podstawowej z **zał. 3**) w marcu 2026 r. – oprac. PSG.

Magnituda		Liczba zdarzeń	%
>	≤		
0.0	2.5	4212	85.7
2.5	3.5	586	11.9
3.5	4.5	100	2.0
4.5	5.5	15	0.3
5.5	6.5	1	0.0
<b>6.5</b>	<b>8.0</b>	<b>0</b>	<b>0.0</b>
<b>Razem:</b>		<b>4917</b>	<b>100.0</b>
<b>w tym:</b>	<b>M≤2.5</b>	<b>4215</b>	<b>85.7</b>
	<b>M&gt;2.5</b>	<b>702</b>	<b>14.3</b>
	<b>M<sub>min.</sub></b>	<b>0.0</b>	
	<b>M<sub>śr.</sub></b>	<b>1.8</b>	
	<b>M<sub>maks.</sub></b>	<b>5.9</b>	



**Rys. 5.** Sekwencja zjawisk sejsmicznych na kontynencie europejskim w marcu 2026 r. – dobowa liczebność zjawisk (odczuwalnych i nieodczuwalnych) – oprac. PSG, dane EMSC.



**Rys. 6.** Sekwencja zjawisk sejsmicznych na kontynencie europejskim w marcu 2026 r. – dobowa magnituda: minimalna, średnia i maksymalna – oprac. PSG, dane EMSC.

Regionalna charakterystyka aktywności sejsmicznej w marcu 2026 r., mierzona liczbą zarejestrowanych zjawisk o **magnitudach przekraczających próg odczuwalności ( $M > 2.5$ )**, zaprezentowana została w **Tab. 9**. Z analizy zjawisk zarejestrowanych wynika, że w marcu w obszarze europejskim największą aktywnością sejsmiczną wyróżniał się **region Grecji**.

**Tab. 9.** Najbardziej aktywne regiony sejsmologiczne na kontynencie europejskim i obszarach przyległych w marcu 2026 r. pod względem liczby zarejestrowanych, odczuwalnych zjawisk sejsmicznych (oprac. PSG na podstawie danych EMSC).

Lp.	Region	Liczba odczuwalnych zjawisk zarejestrowanych w EMSC - marzec 2026 r.	Procentowy udział w miesięcznej liczbie zjawisk odczuwalnych - marzec 2026 r.
1	GREECE	131	18.66
2	WESTERN TURKEY	93	13.25
3	CRETE, GREECE	38	5.41
4	CENTRAL TURKEY	37	5.27
5	SICILY, ITALY	35	4.99
6	ICELAND REGION	33	4.70
7	EASTERN TURKEY	32	4.56

W marcu 2026 r. na kontynencie europejskim oraz obszarach przyległych zanotowano 6 zjawisk o magnitudzie  $M \geq 5$ . Podstawowe parametry najsilniejszych europejskich zjawisk przedstawiono w **Tab. 10**.

**Tab. 10.** Wykaz zjawisk sejsmicznych o magnitudzie  $M \geq 5.0$ , zarejestrowanych na obszarze Europy i obszarach przyległych (w granicach obszaru mapy podstawowej – zał. 3) w marcu 2026 r. (na podst. danych z bazy EMSC).

Lp.	Data & Czas (UTC)	Szer. geogr. [°]	Dług. geogr. [°]	Głęb. ogniska [km]	Mag.	Region
1	2026-03-08 03:32:32	39.68	20.64	14	5.5	GREECE
2	2026-03-09 06:21:05	38.09	28.97	7	5.1	WESTERN TURKEY
3	2026-03-09 23:03:54	40.55	14.04	374	5.9	SOUTHERN ITALY
4	2026-03-11 07:55:20	40.11	54.29	24	5.1	TURKMENISTAN
5	2026-03-13 00:35:15	40.67	36.82	6	5.3	CENTRAL TURKEY
6	2026-03-21 01:46:07	38.53	14.19	29	5.2	SICILY, ITALY

Lokalizacje epicentrow zjawisk sejsmicznych o magnitudzie  $M > 2.5$  z obszaru Europy i obszarów przyległych zaprezentowano na **zał. 3**.

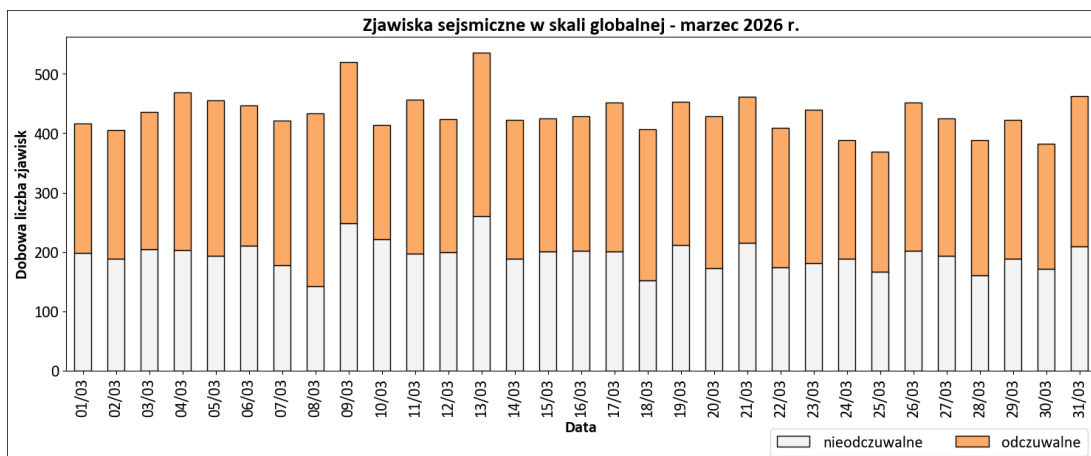
## 2.2. Globalna aktywność sejsmiczna.

W marcu 2026 roku w skali globalnej w bazie danych EMSC zarejestrowano **13448** zjawisk sejsmicznych o magnitudzie od **M0.0** do **M7.5**.

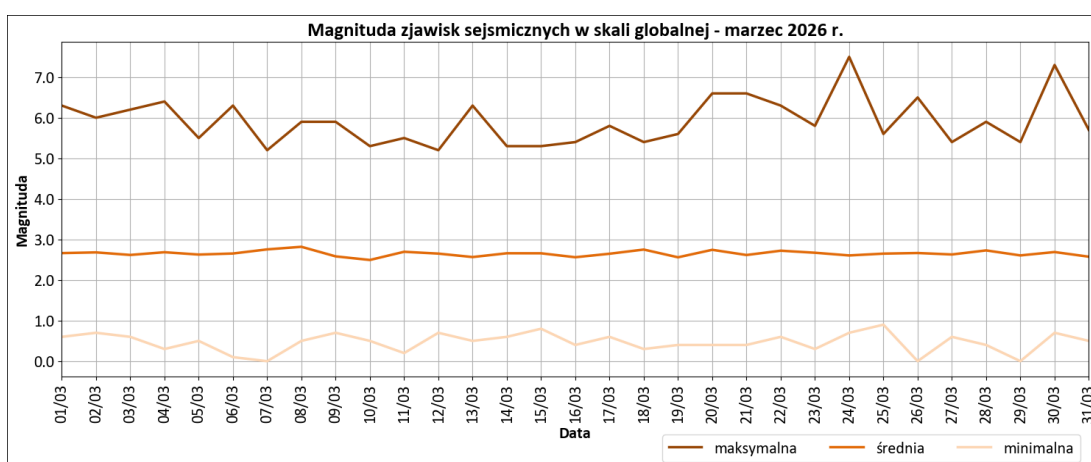
Lokalizacje epicentrow trzęsień ziemi zarejestrowanych na obszarze całej kuli ziemskiej zaprezentowano na **zał. 4**. Charakterystykę globalnej aktywności sejsmicznej w marcu 2026 r., przedstawiono w **Tab. 11** (statystyka wstrząsów) i na **Rys. 7** i **Rys. 8** (sekwencja zjawisk – dobowa liczebność i magnituda).

**Tab. 11.** Statystyka zjawisk sejsmicznych zarejestrowanych w bazie EMSC na obszarze kuli ziemskiej w marcu 2026 r. – oprac. PSG.

Magnituda		Liczba zdarzeń	%
>	≤		
0.0	2.5	6023	44.8
2.5	3.5	5172	38.5
3.5	4.5	1788	13.3
4.5	5.5	428	3.2
5.5	6.0	20	0.1
6.0	7.0	12	0.1
<b>&gt;7.0</b>		<b>2</b>	<b>0.0</b>
<b>Razem:</b>		<b>13448</b>	<b>100.0</b>
<b>w tym:</b>	<b>M<sub>≤2.5</sub></b>	<b>6026</b>	<b>44.8</b>
	<b>M<sub>&gt;2.5</sub></b>	<b>7422</b>	<b>55.2</b>
	<b>M<sub>min.</sub></b>	<b>0.0</b>	
	<b>M<sub>śr.</sub></b>	<b>2.7</b>	
	<b>M<sub>maks.</sub></b>	<b>7.5</b>	



**Rys. 7.** Sekwencja zjawisk sejsmicznych w skali globalnej w marcu 2026 r. – dobowa liczebność zjawisk (odczuwalnych i nieodczuwalnych) – oprac. PSG, dane EMSC.



**Rys. 8.** Sekwencja zjawisk sejsmicznych w skali globalnej w marcu 2026 r. – dobowa magnituda: minimalna, średnia i maksymalna – oprac. PSG, dane EMSC.

Regionalna charakterystyka aktywności sejsmicznej w marcu 2026 r., mierzona liczbą zarejestrowanych zjawisk o **magnitudach przekraczających próg odczuwalności ( $M > 2.5$ )**, zaprezentowana została w **Tab. 12**. Z analizy zjawisk zarejestrowanych wynika, że w marcu w skali globalnej największą aktywnością sejsmiczną wyróżniał się region **Antofagasta, Chile**.

**Tab. 12.** Najbardziej aktywne regiony sejsmologiczne na świecie w marcu 2026 r. pod względem liczebności zarejestrowanych, odczuwalnych zdarzeń sejsmicznych (oprac. PSG na podstawie danych EMSC).

Lp.	Region	Liczba odczuwalnych zjawisk zarejestrowanych w EMSC - marzec 2026 r.	Procentowy udział w miesięcznej liczbie zjawisk odczuwalnych - marzec 2026 r.
1	ANTOFAGASTA, CHILE	284	3.83
2	JAVA, INDONESIA	207	2.79
3	RAT ISLANDS, ALEUTIAN ISLANDS	164	2.21
4	OAXACA, MEXICO	157	2.12
5	TARAPACA, CHILE	152	2.05
6	SOUTH OF JAVA, INDONESIA	146	1.97
7	GREECE	131	1.77
8	SAN JUAN, ARGENTINA	126	1.70
9	GUERRERO, MEXICO	125	1.68
10	NEAR N COAST OF PAPUA, INDONESIA	121	1.63

11	SULAWESI, INDONESIA	121	1.63
12	FOX ISLANDS, ALEUTIAN ISLANDS	115	1.55
13	OFFSHORE OAXACA, MEXICO	110	1.48

Wykaz najsilniejszych zjawisk sejsmicznych, które zostały zarejestrowane w marcu br. na obszarze kuli ziemskiej, których magnituda osiągnęła lub przekroczyła wartość **M6.0** przedstawiono w tabeli 13.

**Tab. 13.** Wykaz zjawisk sejsmicznych o magnitudzie  $M \geq 6.0$ , zarejestrowanych na obszarze kuli ziemskiej w marcu 2026 r. (oprac. PSG na podst. danych z bazy EMSC).

Lp.	Data & Czas (UTC)	Szer. geogr. [°]	Dług. geogr. [°]	Głęb. ogniska [km]	Mag.	Region
1	2026-03-01 05:44:42	-21.82	-179.46	592	6.3	FIJI REGION
2	2026-03-02 03:55:22	23.03	144.24	11	6.0	VOLCANO ISLANDS, JAPAN REGION
3	2026-03-03 04:56:45	2.08	96.72	15	6.2	SIMEULUE, INDONESIA
4	2026-03-04 17:54:38	52.37	176.34	10	6.4	RAT ISLANDS, ALEUTIAN ISLANDS
5	2026-03-06 14:27:48	-11.47	163.12	10	6.3	SOLOMON ISLANDS
6	2026-03-13 13:39:21	-28.73	-71.34	22	6.3	ATACAMA, CHILE
7	2026-03-20 00:22:03	-61.28	-56.40	17	6.6	SOUTH SHETLAND ISLANDS
8	2026-03-20 02:30:33	-19.30	168.35	9	6.1	VANUATU
9	2026-03-21 12:16:46	23.85	-45.86	5	6.6	NORTHERN MID-ATLANTIC RIDGE
10	2026-03-22 06:15:37	-15.39	-173.10	6	6.2	TONGA
11	2026-03-22 15:27:57	-15.41	-172.99	9	6.2	SAMOA ISLANDS REGION
12	2026-03-22 15:30:40	-15.53	-172.86	10	6.3	SAMOA ISLANDS REGION
13	2026-03-24 04:37:49	-18.63	-175.51	215	7.5	TONGA
14	2026-03-26 14:18:51	39.48	143.15	7	6.5	OFF EAST COAST OF HONSHU, JAPAN
15	2026-03-30 08:44:09	-15.27	167.38	127	7.3	VANUATU

### 3. MONITORING ZMIAN PIONOWEJ SKŁADOWEJ PRZYSPIESZENIA SIŁY CIĘŻKOŚCI.

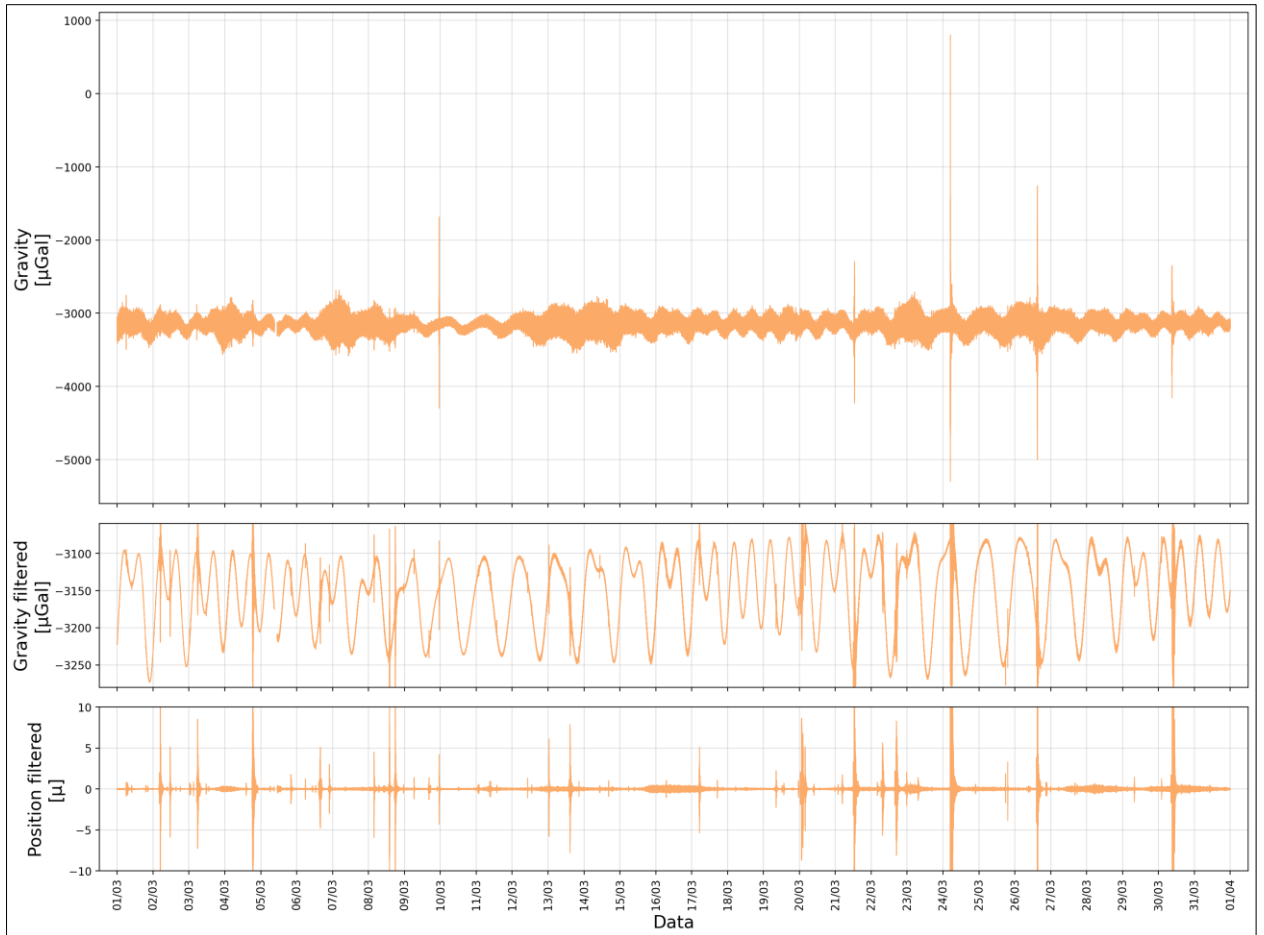
Przedmiotem monitoringu grawimetrycznego są periodyczne (m. in. pływy grawitacyjne spowodowane oddziaływaniem grawitacyjnym Słońca i Księżycy) i nieperiodyczne zmiany przyspieszenia składowej pionowej pola grawitacyjnego (m. in. wstrząsy i zjawiska sejsmiczne) na stałym stanowisku obserwacyjnym w laboratorium geodynamicznym PSG w Hołownie (HOLO) w gm. Podedwórze w pow. parczewskim.

Do monitoringu grawimetrycznego wykorzystywany jest sprężynowy, względny grawimetr pływowy gPhoneX nr 165 prod. Micro-g LaCoste (USA) o rozdzielczości  $0.1 \mu\text{Gal}$  i precyzji  $\pm 1.0 \mu\text{Gal}$ . Pomiary siły ciężkości wykonywane są z 1 Hz oraz 5 Hz częstotliwością odczytów.

Na **Rys. 9** zaprezentowane zostały wykresy wyników obserwacji grawimetrycznych zarejestrowane w marcu 2026 r. przedstawiające:

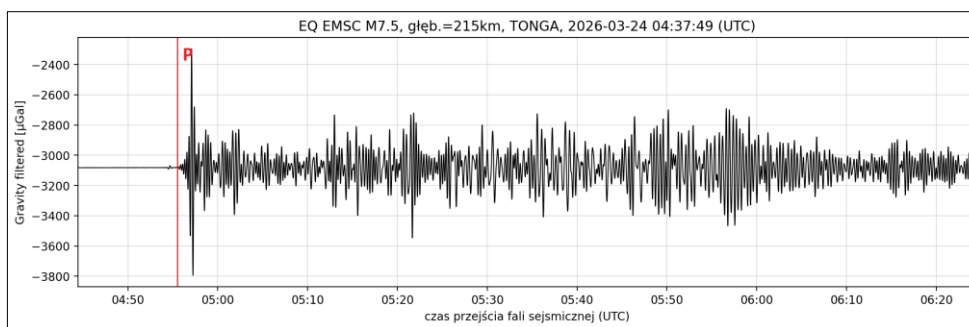
- zarejestrowane oscylacje składowej pionowej przyspieszenia siły ciężkości wywołane głównie działaniem sił pływowych (przyciąganie grawitacyjne Słońca i Księżycy) w skorupie ziemskiej, czyli dane surowe – komponent **Gravity [ $\mu\text{Gal}$ ]**,
- dane po filtracji dolnoprzepustowej ( $f_c = 0.07 \text{ Hz}$ ) – komponent **Gravity filtered [ $\mu\text{Gal}$ ]**,
- wielkości przemieszczenia pionowego (odpowiadające zmianom przyspieszenia) w trakcie przejścia fal sejsmicznych przez stanowisko obserwacji wyznaczone na podstawie podwójnego całkowania zredukowanych zmian przyspieszenia siły ciężkości, również po filtracji dolnoprzepustowej ( $f_c = 0.07 \text{ Hz}$ ) – komponent **Position filtered [ $\mu$ ]**.

Występujące nieregularne zjawiska o wysokich amplitudach, których obraz falowy wyraźnie zaznaczył się na zapisach, są wywołane falami sejsmicznymi wygenerowanymi w źródłach najsilniejszych trzęsień ziemi występujących na świecie.

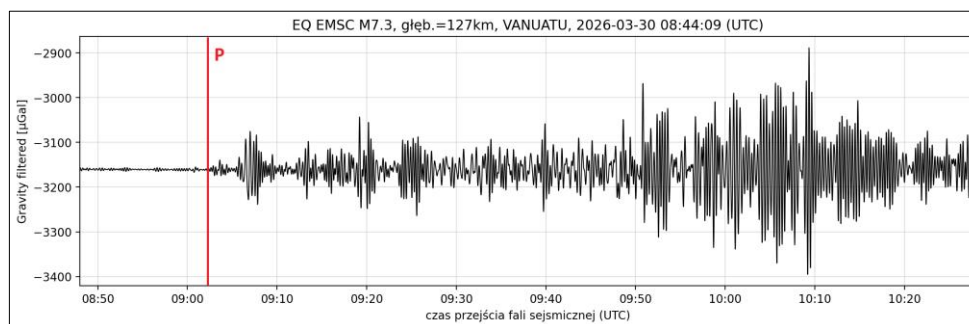


**Rys. 9.** Zmiany pionowej składowej siły ciężkości  $g$  zarejestrowane w okresie **01/03/2026 – 31/03/2026 r.** w laboratorium geodynamicznym PSG w Hołownie; zmiany składowej pionowej przyspieszenia siły ciężkości (górny wykres), zmiany składowej pionowej przyspieszenia siły ciężkości po filtracji dolnoprzepustowej (środkowy wykres), podwójnie przecałkowane, zredukowane zmiany składowej pionowej przyspieszenia siły ciężkości po filtracji dolnoprzepustowej (dolny wykres).

Na **Rys. 10** i **Rys.11** przedstawiono efekty dwóch najmocniejszych trzęsień ziemi (obrazy falowe zarejestrowane gravimetrem gPhoneX nr 165) widocznych w zapisie monitoringu składowej pionowej siły ciężkości w laboratorium geodynamicznym w Hołownie (stacja HOLO) odpowiednio z dnia 24/03/2026 r. w regionie *TONGA* o magnitudzie M7.5 oraz z dnia 30/03/2026 r. w regionie *VANUATU* o magnitudzie M7.3. Parametry wymienionych zjawisk, na podstawie danych EMSC, zostały przedstawione w **Tab. 13**. Na wykresach przedstawiono zmiany składowej pionowej przyspieszenia siły ciężkości po filtracji dolnoprzepustowej oraz zaznaczono pierwsze wejście fali (P).

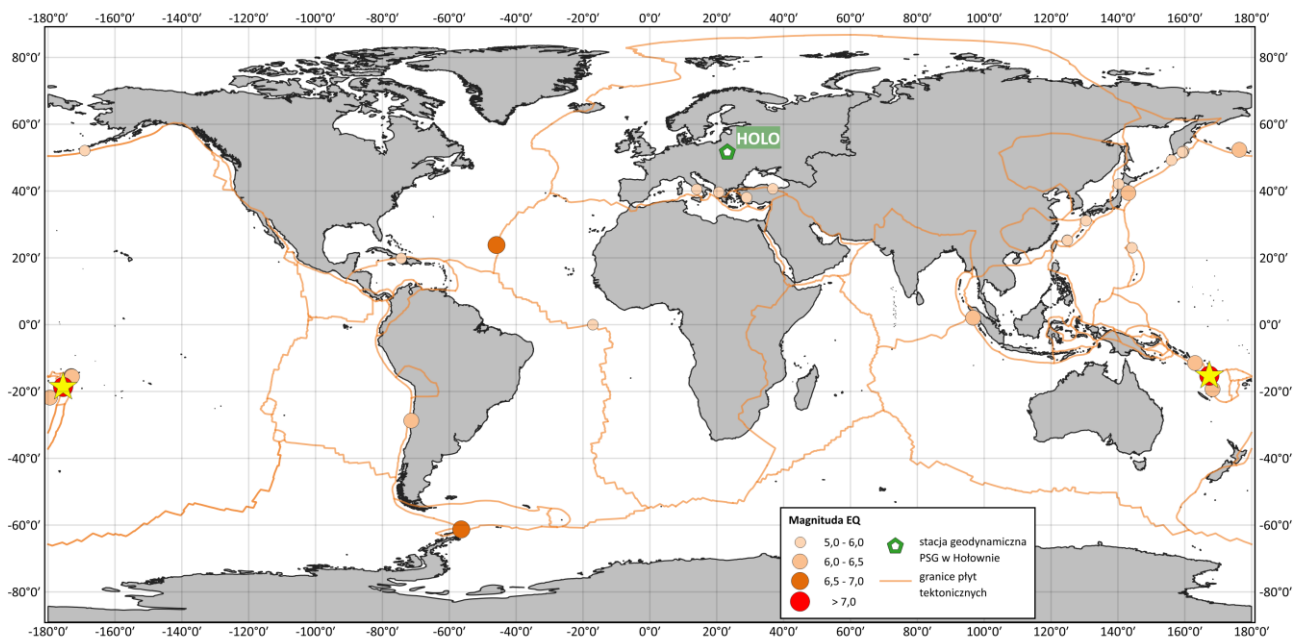


**Rys. 10.** Fragment zapisu (przyspieszenia) z monitoringu grawimetrycznego pola siły ciężkości na stacji HOLO zarejestrowany w trakcie przejścia przez punkt obserwacji grawimetrycznych fal sejsmicznych wywołanych w ognisku trzęsienia ziemi o magnitudzie M7.5 z dnia 24/03/2026 r. w regionie TONGA.



**Rys. 11.** Fragment zapisu (przyspieszenia) z monitoringu grawimetrycznego pola siły ciężkości na stacji HOLO zarejestrowany w trakcie przejścia przez punkt obserwacji grawimetrycznych fal sejsmicznych wywołanych w ognisku trzęsienia ziemi o magnitudzie M7.3 z dnia 30/03/2026 r. w regionie VANUATU.

Lokalizacja epicentrow zjawisk sejsmicznych widocznych w zapisie parametrów monitoringu grawimetrycznego w marcu 2026 r., których obraz falowy wyraźnie zaznaczył się na dolnym wykresie (**Rys. 9**, komponent *Position filtered*) przedstawiono na **Rys. 12**. Dodatkowo gwiazdką oznaczono najsilniejsze trzęsienia ziemi, których fragment zapisu przedstawiono powyżej (**Rys. 10** i **Rys. 11**). W **Tab. 14** przedstawiono wykaz podstawowych danych odnoszących się do tych zjawisk sejsmicznych na podstawie bazy EMSC.



**Rys. 12.** Lokalizacja epicentrów wybranych zjawisk sejsmicznych widocznych w zapisie parametrów monitoringu grawimetrycznego w marcu 2026 r. na stacji geodynamicznej PSG w Hołownie (HOLO).

**Tab. 14.** Wykaz wybranych zjawisk sejsmicznych zarejestrowanych w marcu 2026 r. w zapisach parametrów monitoringu grawimetrycznego na stacji PSG w Hołownie (dane w tabeli wg danych EMSC).

Lp.	Data	Godz. (UTC)	Szer. geogr. [°]	Dług. geogr. [°]	Głęb. ogniska [km]	Mag.	Nazwa regionu sejsmologicznego	ID EMSC
1	2026-03-01	05:44:43	-21.822	-179.457	592	6.3	FIJI REGION	1953062
2	2026-03-01	09:00:08	31.1415	130.4965	128.9	5.5	KYUSHU, JAPAN	1953127
3	2026-03-01	18:36:39	0.0111	-17.0355	10.4	5.2	NORTH OF ASCENSION ISLAND	1953297
4	2026-03-01	19:38:41	51.9858	159.7545	40	5	OFF EAST COAST OF KAMCHATKA	1953319
5	2026-03-02	03:55:22	23.0289	144.2445	11	6	VOLCANO ISLANDS, JAPAN REGION	1953476
6	2026-03-02	10:39:24	25.2414	124.9336	10	5.6	NORTHEAST OF TAIWAN	1953598
7	2026-03-02	23:46:51	52.2733	176.4151	15	5.3	RAT ISLANDS, ALEUTIAN ISLANDS	1953859
8	2026-03-03	00:11:44	25.3114	124.8878	10	5	NORTHEAST OF TAIWAN	1953870
9	2026-03-03	04:56:46	2.0845	96.7229	15	6.2	SIMEULUE, INDONESIA	1953961
10	2026-03-04	17:54:38	52.374	176.3436	10	6.4	RAT ISLANDS, ALEUTIAN ISLANDS	1954840
11	2026-03-05	19:25:06	52.1349	-169.035	5.7	5.5	FOX ISLANDS, ALEUTIAN ISLANDS	1955428
12	2026-03-06	14:27:49	-11.4706	163.117	10	6.3	SOLOMON ISLANDS	1955901
13	2026-03-06	21:08:20	52.3355	176.3938	15	5.7	RAT ISLANDS, ALEUTIAN ISLANDS	1956054
14	2026-03-08	03:32:32	39.68	20.64	14	5.5	GREECE	1956720
15	2026-03-08	13:08:37	39.4346	143.0806	25	5.4	OFF EAST COAST OF HONSHU,	1956913
16	2026-03-08	13:17:07	39.4414	143.128	4.3	5.7	OFF EAST COAST OF HONSHU,	1956915
17	2026-03-08	17:08:42	51.7072	159.291	9.7	5.9	OFF EAST COAST OF KAMCHATKA	1956994
18	2026-03-08	17:19:16	51.5321	159.5152	10	5.1	OFF EAST COAST OF KAMCHATKA	1956999
19	2026-03-08	17:23:46	51.5674	159.4332	10	5.1	OFF EAST COAST OF KAMCHATKA	1957001
20	2026-03-09	06:21:06	38.0869	28.9739	7	5.1	WESTERN TURKEY	1957265
21	2026-03-09	15:45:44	42.1078	140.2853	142.4	5.9	HOKKAIDO, JAPAN REGION	1957571
22	2026-03-09	23:03:54	40.5507	14.0434	374.2	5.9	SOUTHERN ITALY	1957773
23	2026-03-13	00:35:15	40.6733	36.8161	6.4	5.3	CENTRAL TURKEY	1959550
24	2026-03-13	13:39:22	-28.7258	-71.343	22	6.3	ATACAMA, CHILE	1959896
25	2026-03-17	04:28:25	19.8665	-74.3714	4.6	5.8	CUBA REGION	1961808
26	2026-03-19	07:43:30	49.2635	156.0724	20	5.6	KURIL ISLANDS	1963048
27	2026-03-20	00:22:04	-61.2759	-56.3995	17.2	6.6	SOUTH SHETLAND ISLANDS	1963505
28	2026-03-20	02:30:33	-19.3013	168.3482	9.1	6.1	VANUATU	1963585

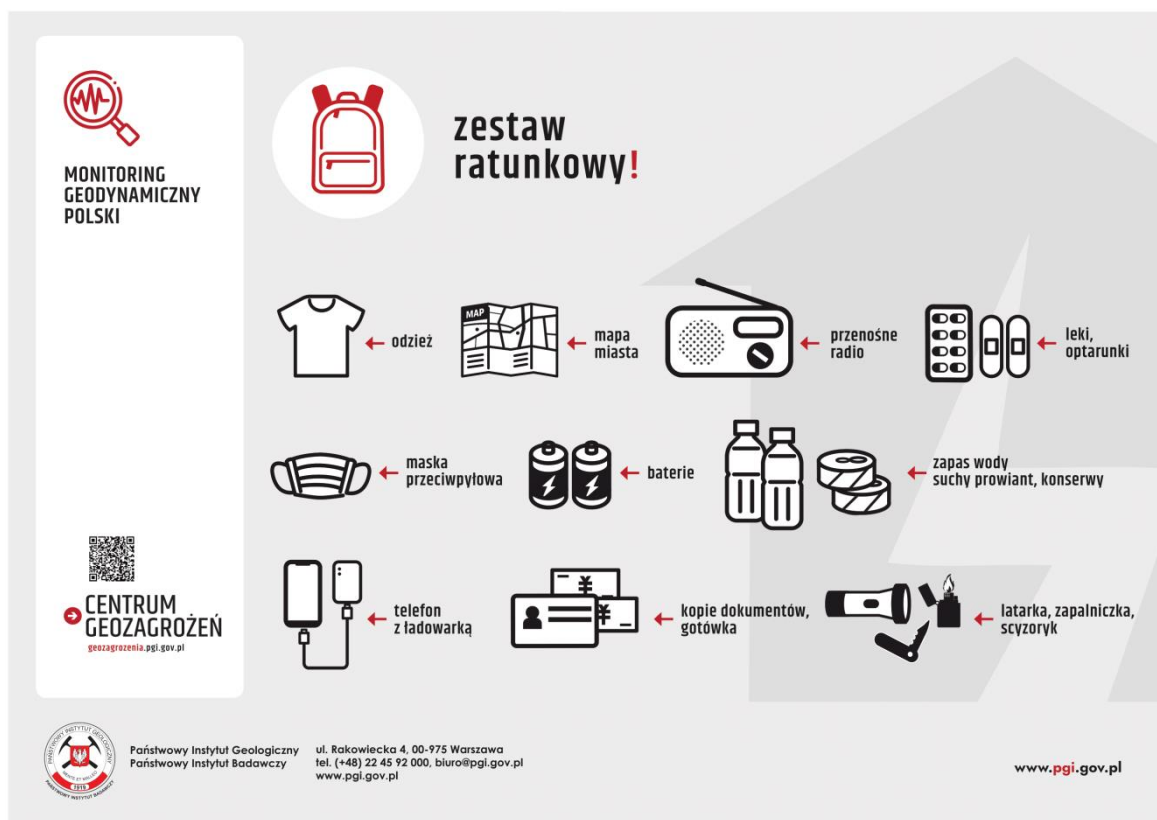
29	2026-03-21	03:21:00	-16.0369	166.9539	29	5.7	VANUATU	1964223
30	2026-03-21	12:16:47	23.8549	-45.8622	4.8	6.6	NORTHERN MID-ATLANTIC RIDGE	1964413
31	2026-03-22	06:15:38	-15.3899	-173.1	6.1	6.2	TONGA	1964850
32	2026-03-22	15:27:58	-15.4099	-172.988	9.2	6.2	SAMOA ISLANDS REGION	1965058
33	2026-03-22	15:30:41	-15.5324	-172.862	10	6.3	SAMOA ISLANDS REGION	1965062
34	2026-03-24	04:37:50	-18.6256	-175.505	215.2	7.5	TONGA	1965976
35	2026-03-26	14:18:52	39.4768	143.1504	7.3	6.5	OFF EAST COAST OF HONSHU,	1967221
36	2026-03-30	08:44:10	-15.2731	167.3817	127.2	7.3	VANUATU	1969072

#### 4. DODATEK – PAŃSTWOWA SŁUŻBA GEOLOGICZNA RADZI, JAK ZACHOWAĆ SIĘ W CZASIE ZJAWISK SEISMICZNYCH.

**Uwaga: Poradnik znajdujący się poniżej został opracowany na podstawie zaleceń Ministerstwa Spraw Zagranicznych (<https://www.gov.pl/web/dyplomacja/trzesienia-ziemi>).**

Według zaleceń Ministerstwa Spraw Zagranicznych (MSZ), gdy **podróżujesz do obszaru zagrożonego trzęsieniami ziemi**, zalecane są następujące kroki:

- Zarejestruj się w serwisie MSZ Odysseusz (<https://odysseusz.msz.gov.pl/>). Umożliwi to w przypadku wystąpienia nadzwyczajnych sytuacji udzielenie pomocy poprzez właściwą placówkę dyplomatyczno-konsularną, a także otrzymywanie powiadomień o zagrożeniach w kraju podróży.
- Sprawdź, czy Twoje ubezpieczenie podróżne obejmuje również skutki katastrof naturalnych.
- Pamiętaj o zapisaniu numerów do lokalnych służb ratunkowych, ubezpieczyciela i ambasady.
- Na miejscu (np. w hotelu) sprawdź, gdzie znajdują się wyjścia ewakuacyjne oraz gdzie jest najbliższa otwarta przestrzeń.
- Jeśli podróżujesz z rodziną/przyjaciółmi ustalcie gdzie się spotkacie w przypadku wstrząsów podczas, których możecie zostać rozdzieleni.
- Wieczorem zostawiaj buty przy łóżku.
- Przygotuj plecak/torbę podręczną z zestawem ratunkowym (zobacz, co warto do niego włożyć na grafice poniżej).



Jadąc do obszaru zagrożonego trzęsieniami ziemi dobrze być przygotowanym na ewentualne wstrząsy. Poniższa grafika pokazuje, jak zachować się podczas ich wystąpienia. Ważne jest, aby wiedzieć, jak postępować w różnych przypadkach. Na grafice zostały pokazane sposoby zachowania w sytuacji, kiedy znajdujemy się w środku budynku oraz gdy przebywamy na zewnątrz.



**MONITORING  
GEODYNAMICZNY  
POLSKI**



**CENTRUM  
GEOZAGROZEŃ**  
geozagrozenia.pgi.gov.pl

## JAK ZACHOWAĆ SIĘ PODCZAS TRZĘSIENIA ZIEMI?!



**znajdujesz się  
na zewnątrz?!**



**znajdujesz się  
w budynku, w pomieszczeniu?!**



Połóż się na podłodze i **chron głowę**, a jeśli możesz schowaj się pod stołem i **zabezpiecz się przed spadającymi przedmiotami**



**Idziesz pieszo?** Odejdź od budynków, drzew, latarni ulicznych i innych przewodów



Jeśli jesteś w łóżku, nie wstawaj i **ochron głowę i szyję poduszką**



**Jesteś w Pojeździe?** Zatrzymaj się z dala od budynków, drzew, wiaduktów, mostów, linii energetycznych itp.



**Zostań w budynku** aż do ustania wstrząsów



**Znajdujesz się blisko zboczy?** Uważaj na spadające skały i możliwe osunięcia ziemi



Państwowy Instytut Geologiczny  
Państwowy Instytut Badawczy

ul. Rakowiecka 4, 00-975 Warszawa  
tel. (+48) 22 45 92 000, biuro@pgi.gov.pl  
www.pgi.gov.pl

www.pgi.gov.pl

Wstrząsy ustały, co robić dalej? Przede wszystkim postaraj się zachować spokój i sprawdź, czy nie masz żadnych obrażeń. Po drugie **śłuchaj komunikatów** lokalnych władz oraz służb ratunkowych i **postępuj zgodnie z ich instrukcjami**.

Zadbaj o swoje **bezpieczeństwo**:

- odetnij wodę, elektryczność i gaz,
- opuść jak najszybciej uszkodzony budynek, jeśli się w takim znajdujesz,
- nie wchodź do zniszczonych budynków,
- skorzystaj ze schodów zamiast windy,
- nie dotykaj przewodów elektrycznych,
- zachowaj bezpieczną odległość od wszystkiego, co może się zawalić,
- załóż obuwie, aby ochronić się przed potłuczonymi przedmiotami.

W przypadku uwięzienia (np. w budynku) wyślij wiadomość, uderzaj w rurę lub ścianę, a jeśli możesz użyj gwizdka zamiast krzycheć. Takie postępowanie pomoże Cię zlokalizować i jak najszybciej udzielić potrzebnej pomocy.

**Zapamiętaj!** Jeśli znajdujesz się na wybrzeżu i jest to region, gdzie występują fale tsunami, po ustaniu wstrząsów udaj się w głąb lądu lub na wyższy teren. Nie podchodź do linii brzegowej! Warto być również świadomym, że mogą nastąpić kolejne wstrząsy.

## **LISTA ZAŁĄCZNIKÓW**

**Załącznik 1** – Lokalizacja wstrząsów sejsmicznych zarejestrowanych w sieci PSG\_Sejs\_NET na obszarze Polski w okresie od 01/03/2026 r. do 31/03/2026 r. – na mapie prezentowane są wstrząsy z bieżącego miesiąca.

**Załącznik 2** – Lokalizacja wstrząsów sejsmicznych zarejestrowanych w sieci PSG\_Sejs\_NET na obszarze Polski w okresie od 01/01/2025 r. do 31/03/2026 r. – na mapie prezentowane są wstrząsy od początku trwania V etapu projektu Monitoring Geodynamiczny Polski (MGP-V) tj. od dnia 01/01/2025 r.

**Załącznik 3** – Lokalizacja wstrząsów sejsmicznych zarejestrowanych w bazie EMSC na obszarze Europy i obszarach przyległych (w granicach mapy podstawowej) w okresie od 01/03/2026 r. do 31/03/2026 r.

**Załącznik 4** – Lokalizacja wstrząsów sejsmicznych zarejestrowanych w bazie EMSC na obszarze świata w okresie od 01/03/2026 r. do 31/03/2026 r.